

Les nanobodies, une nouvelle classe d'anticorps thérapeutiques

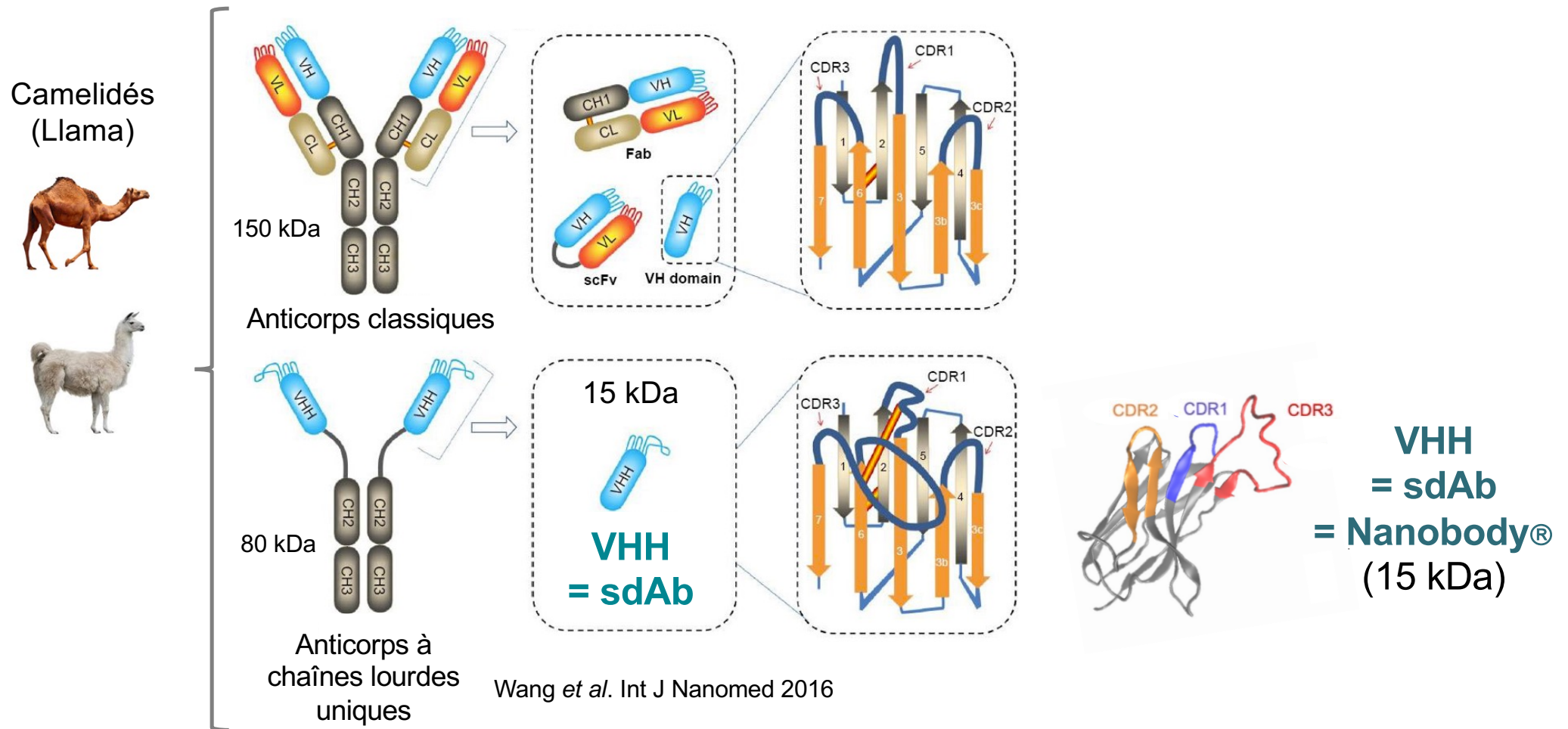
François SALLER

francois.saller@universite-paris-saclay.fr

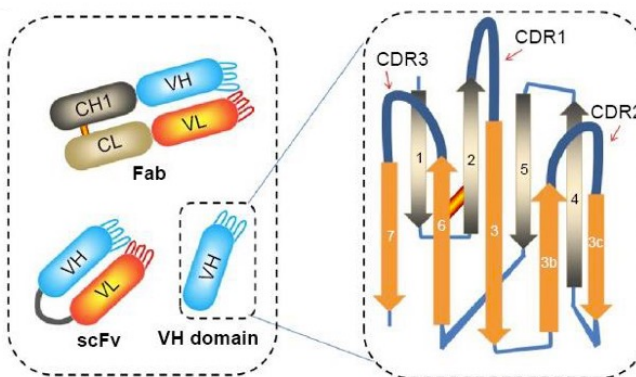
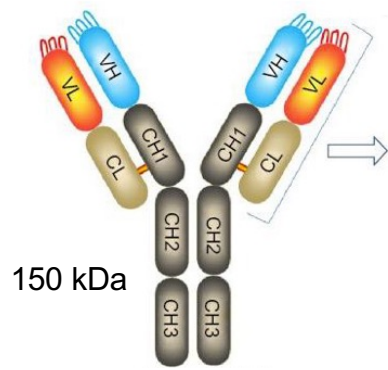
Jeudi 31 Octobre 2024



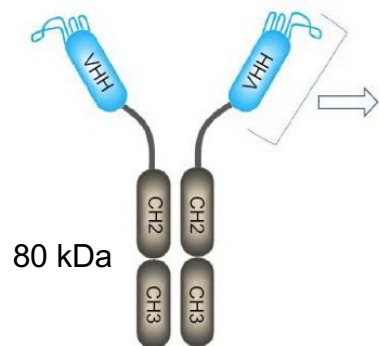
Les « nanobodies » ou « anticorps à domaine unique » (sdAb)



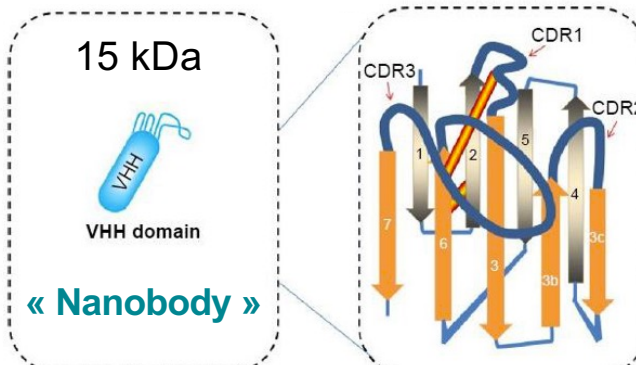
Avantage des nanobodies



Anticorps classique



Anticorps à chaînes lourdes uniques



Wang et al. Int J Nanomed 2016

Petits, stables, solubles à fortes concentrations

Forte pénétration tissulaire

Production à grande échelle dans *E. coli*

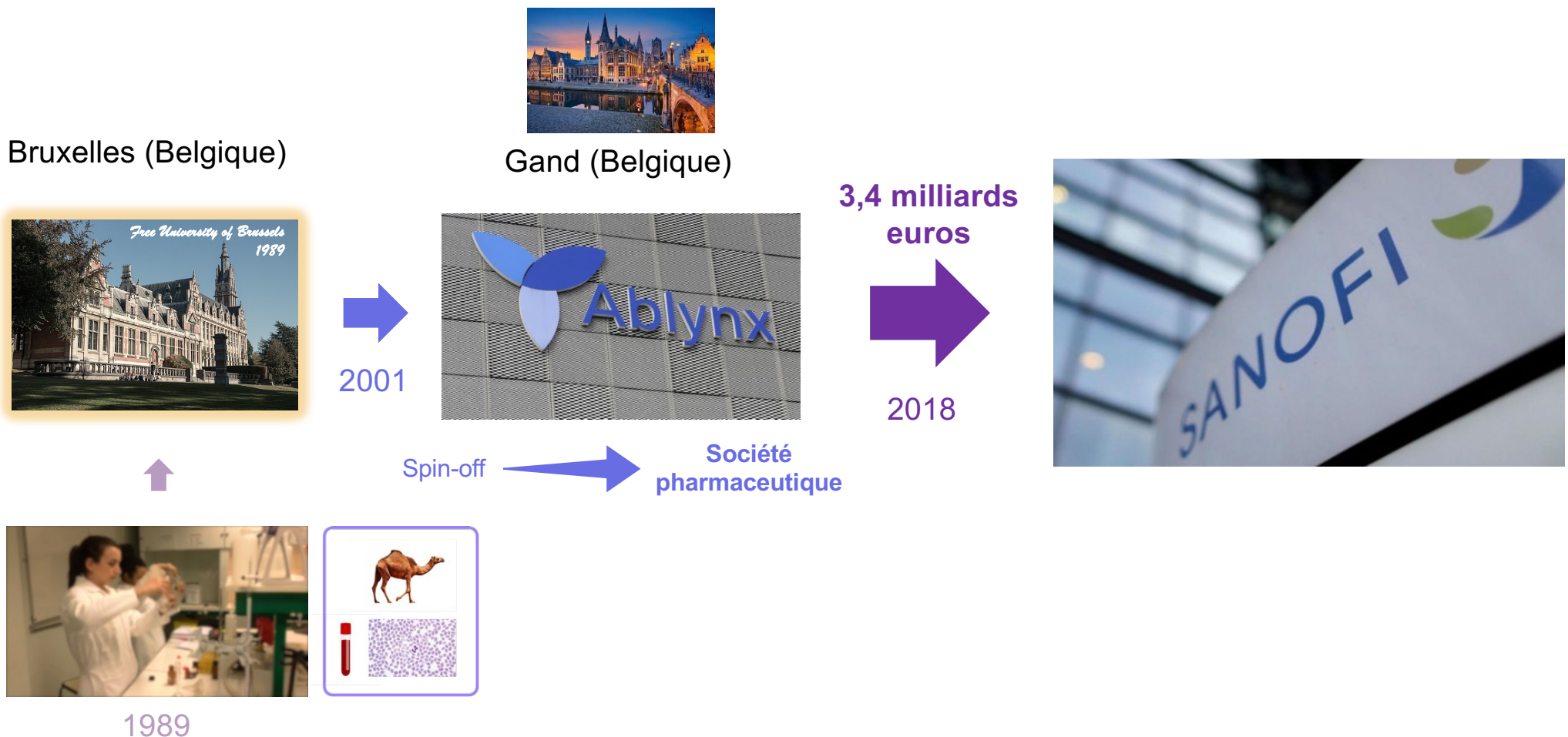
Faible **immunogénicité per se**

Ingénierie facile

Reconnaissance d'**épitopes cryptiques & originaux**

Peuvent être facilement identifiés par **phage-display**

Développement pharmaceutique des Nanobodies®



Développement pharmaceutique des Nanobodies®



Our Company Our Science Your Health Partnering

Media Investors Careers Paris 2024

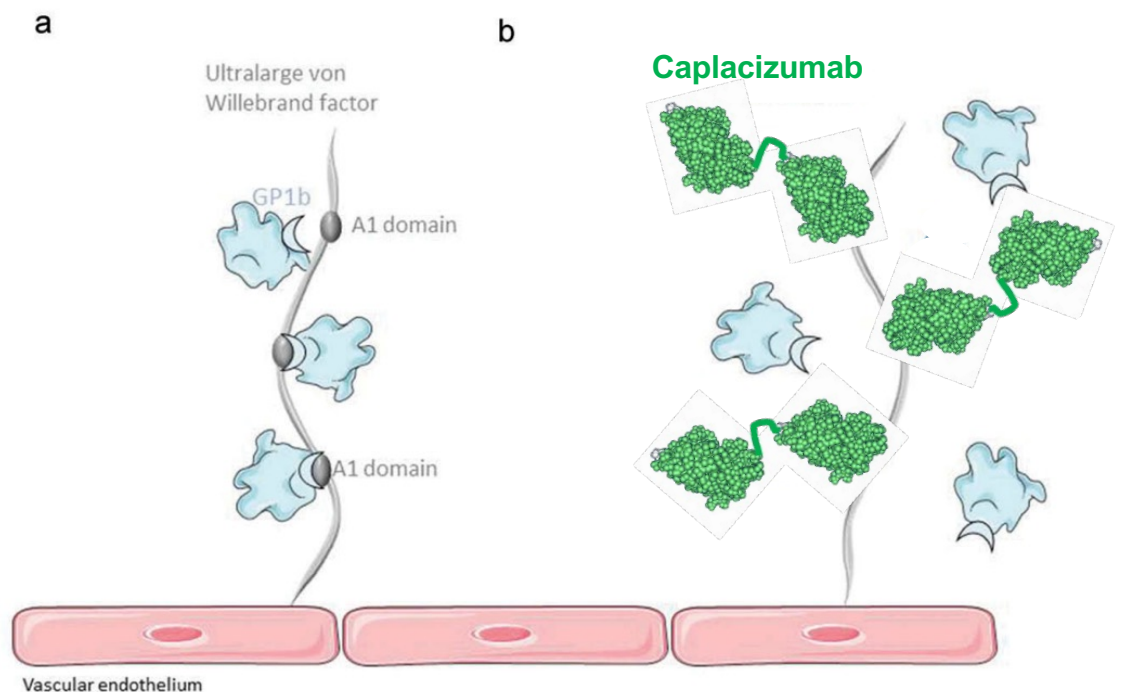
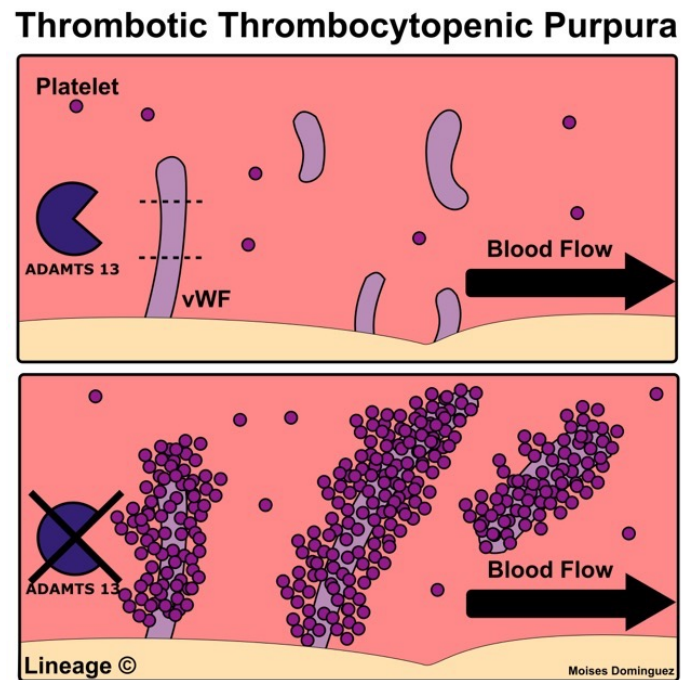
NANOBODY® Technology Platform

Published on: February 1, 2021



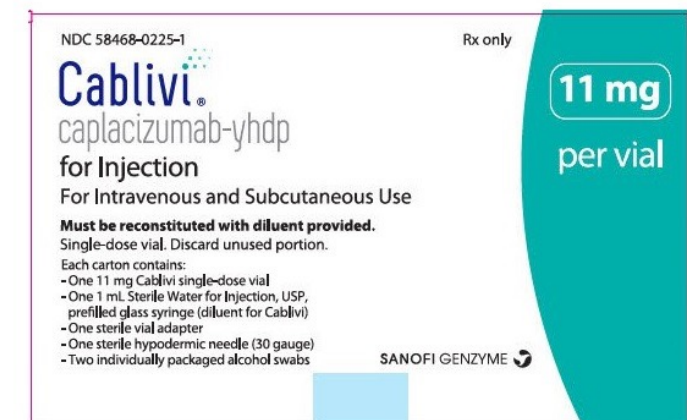
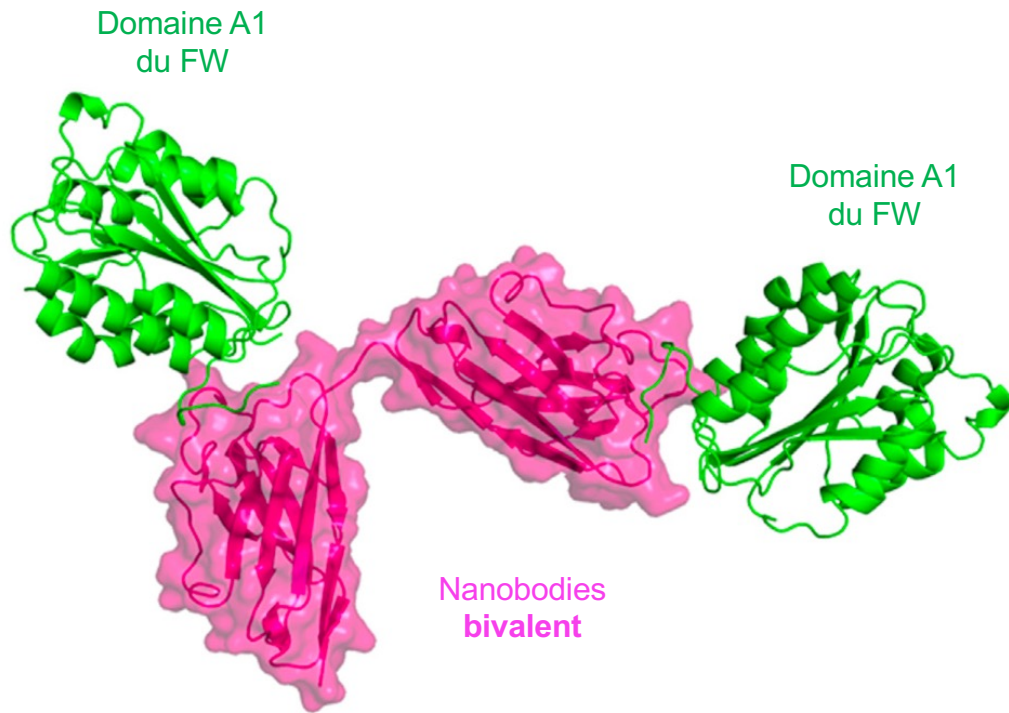
<https://www.sanofi.com/en/magazine/our-science/nanobody-technology-platform>

Nanobodies en clinique : Caplacizumab



Adapté de le Beresnais *et al.* Expert Opin Biol Ther 2019

Nanobodies en clinique : Caplacizumab



Lee et al. Biochem Biophys Res Commun 2021

Nanobodies multi-spécifiques

Petits, stables, solubles à fortes concentrations

Forte pénétration tissulaire

Production à grande échelle dans *E. coli*

Faible immunogénicité *per se*

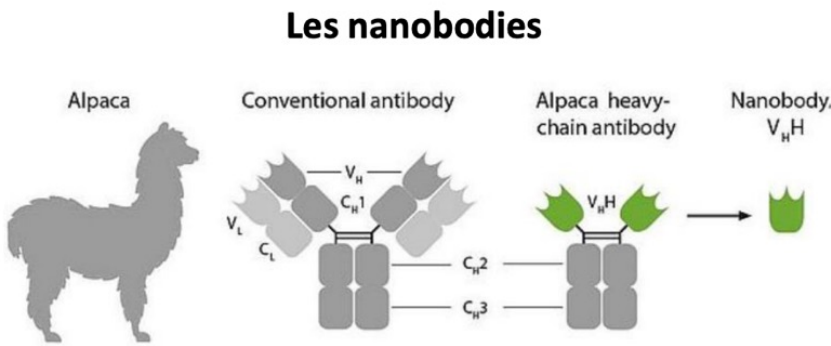
Ingénierie facile

Reconnaissance d'épitopes cryptiques & originaux

Peuvent être facilement identifiés par phage-display



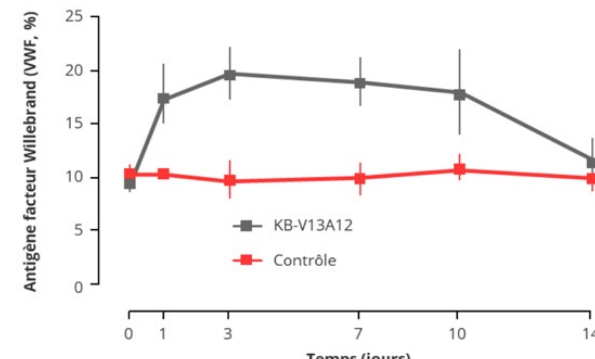
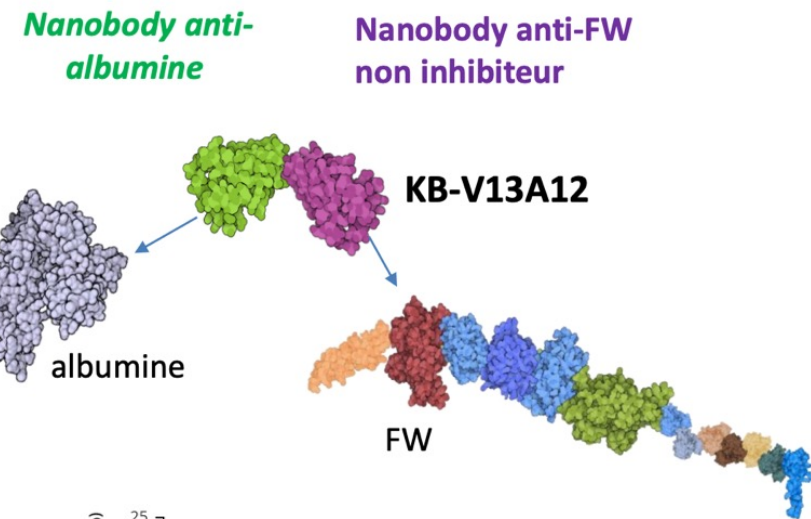
Nanobody anti-FW KB-V13A12



Avantages : facilité de production, petite taille, formats multivalents

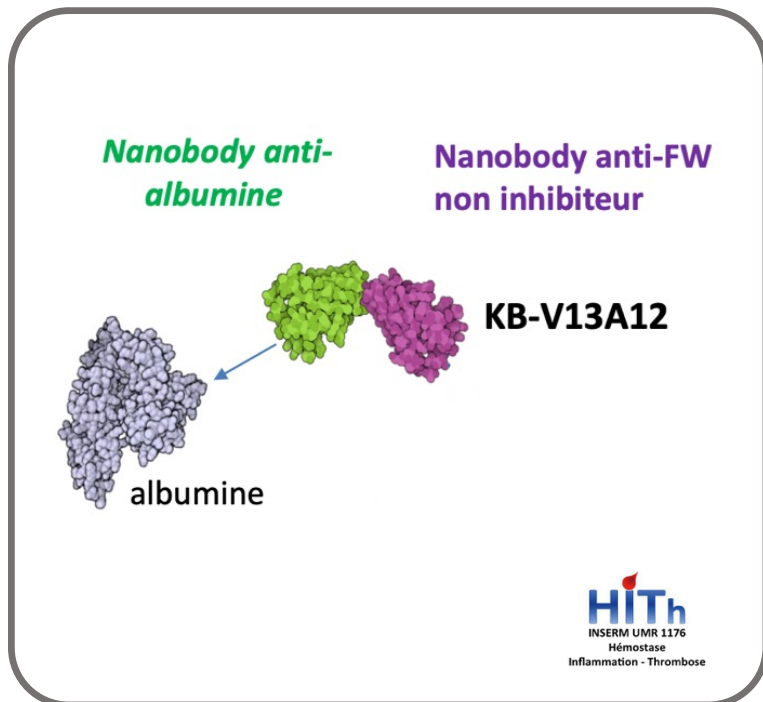


Cours de Claire Auditeau

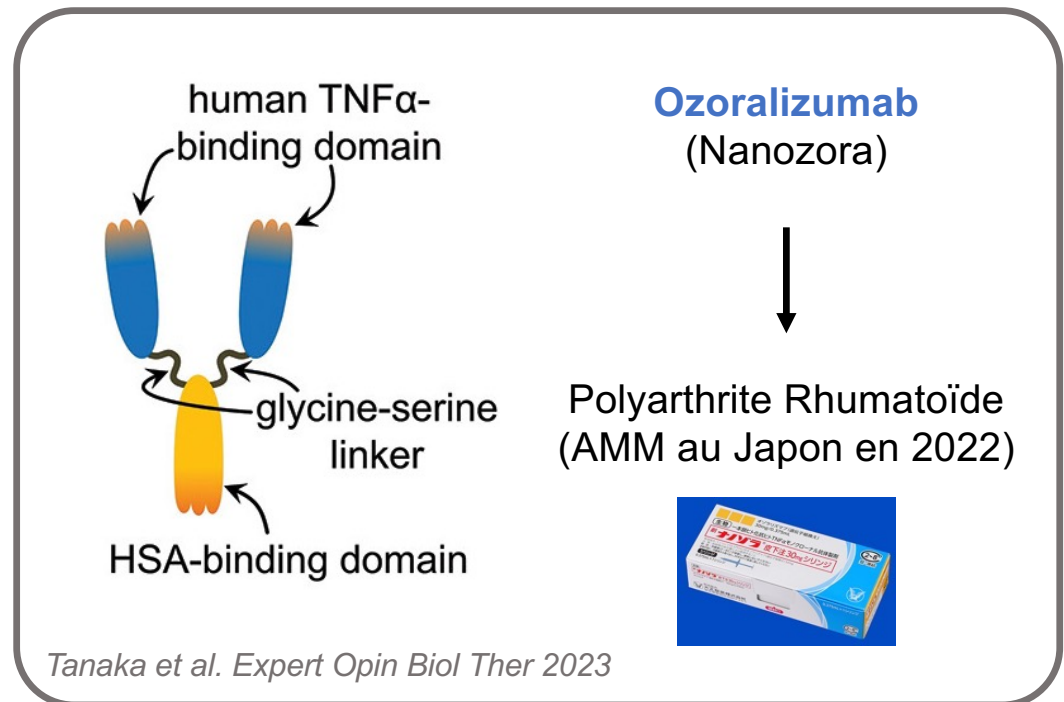


VWF : pourcentage par rapport à un pool de plasma normal = % plasma normal

Nanobodies en clinique : Ozoralizumab



≈



Développement de nanobodies dirigés contre la Protéine S



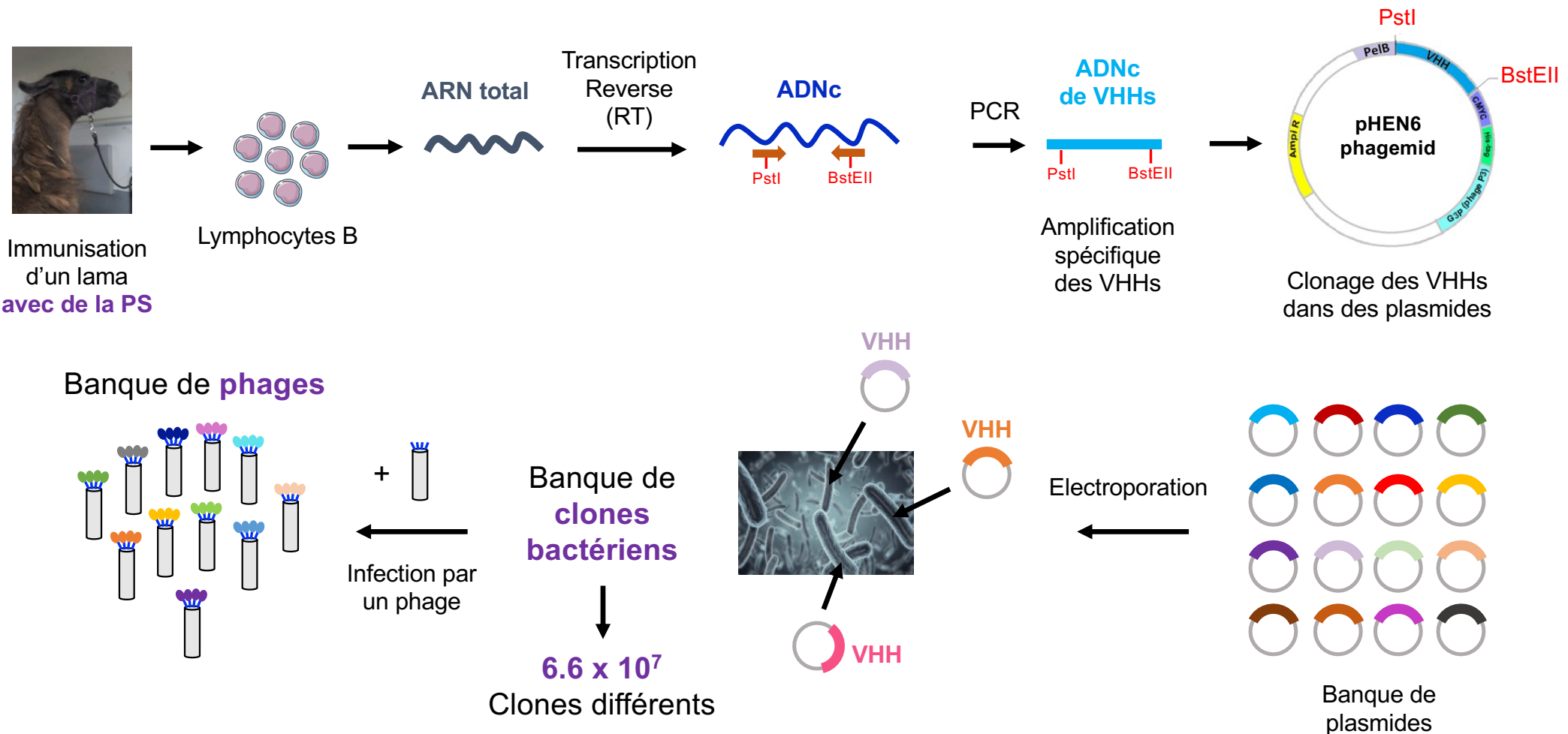
Nanobodies de lamas
dirigés contre des
protéines de l'hémostase



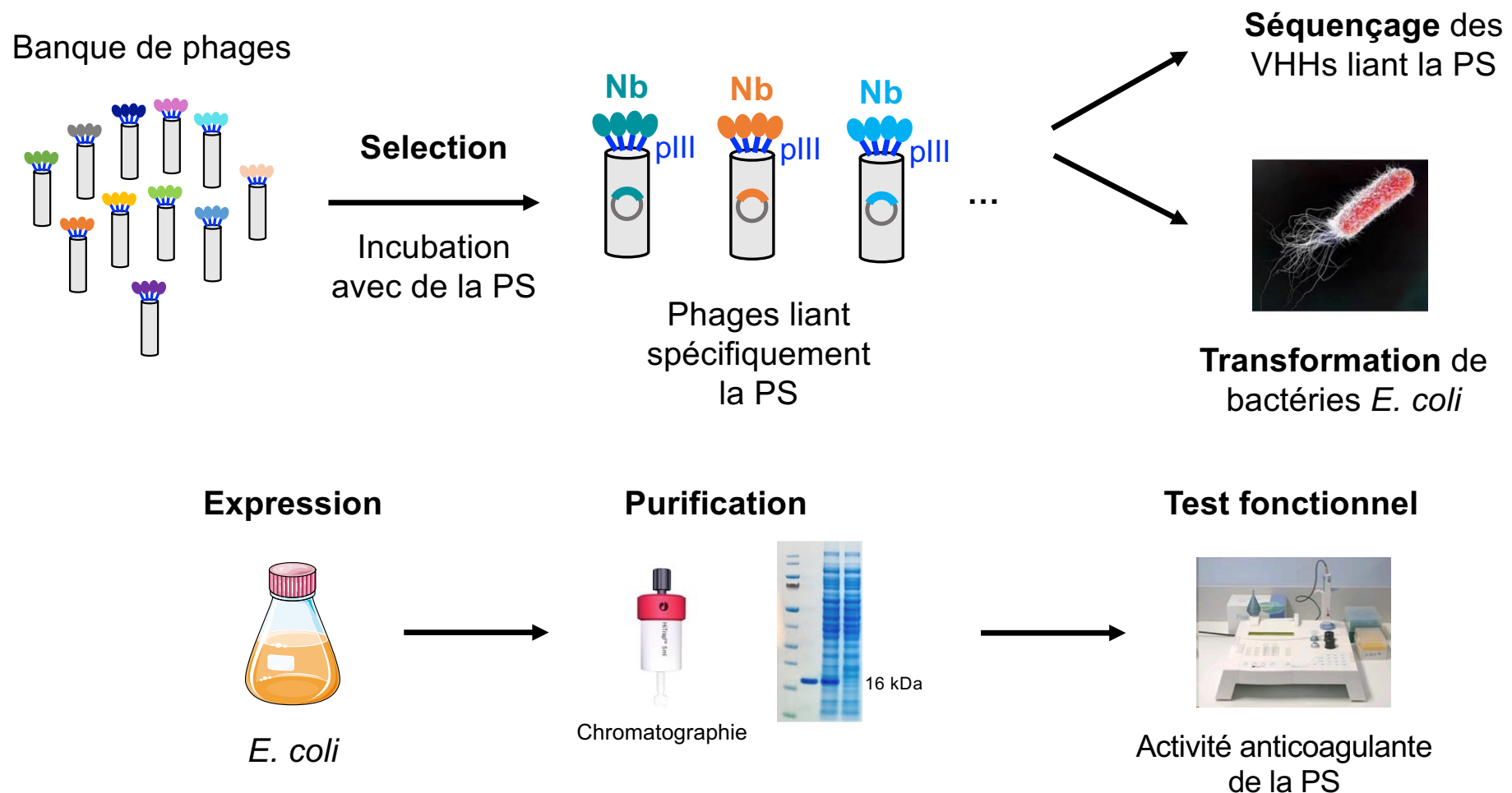
*Josepha Clara Sedzro
(Doctorante, 2018-2021)*

**Nanobodies de
lamas dirigés contre
la Protéine S**

Préparation d'une banque « immune » de nanobodies



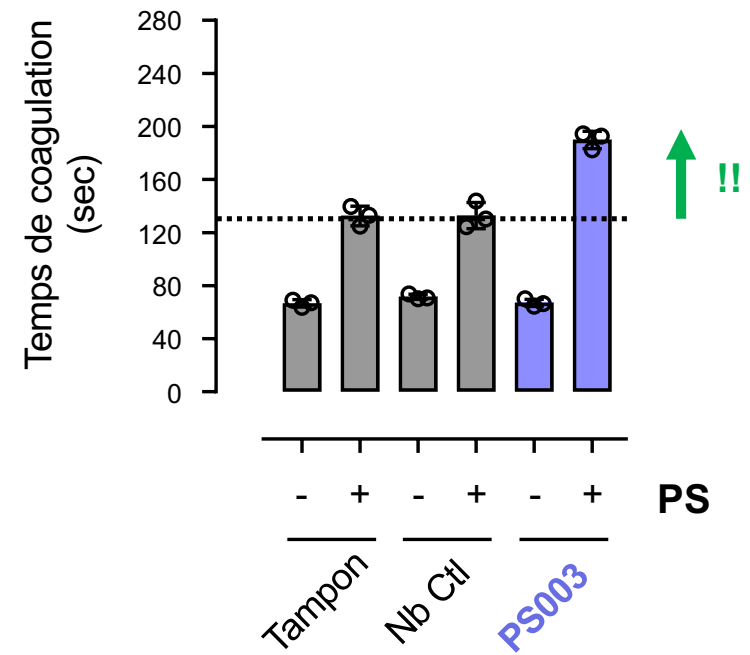
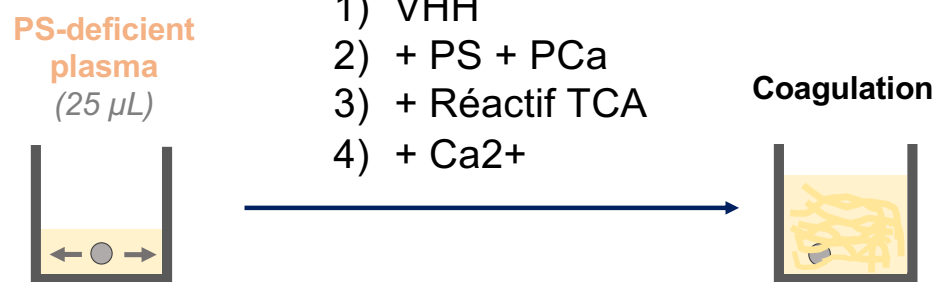
Identification de nanobodies par phage-display



Identification du nanobody PS003 potentialisant la PS



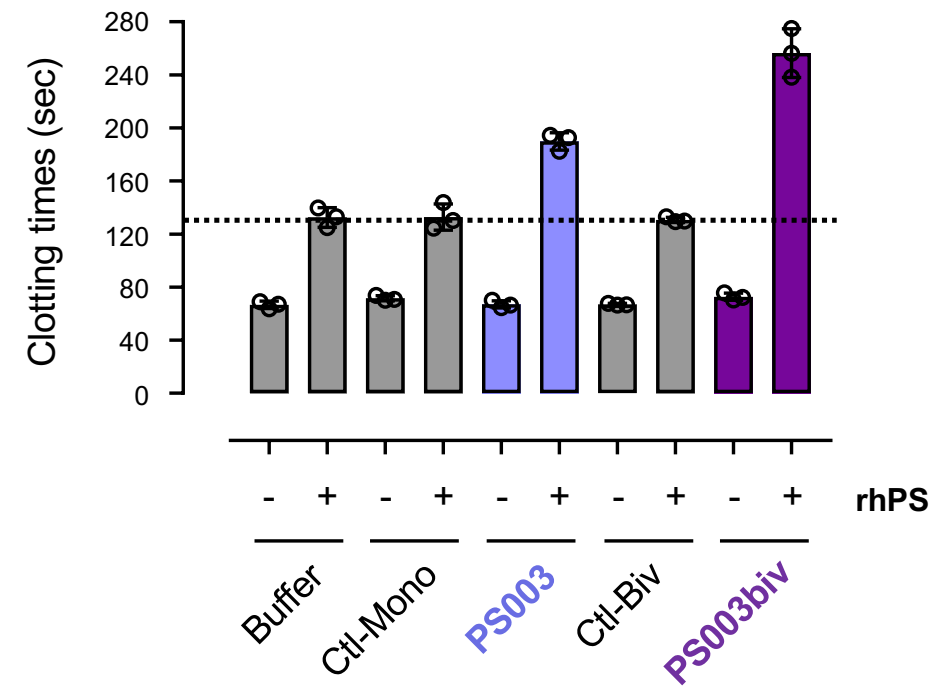
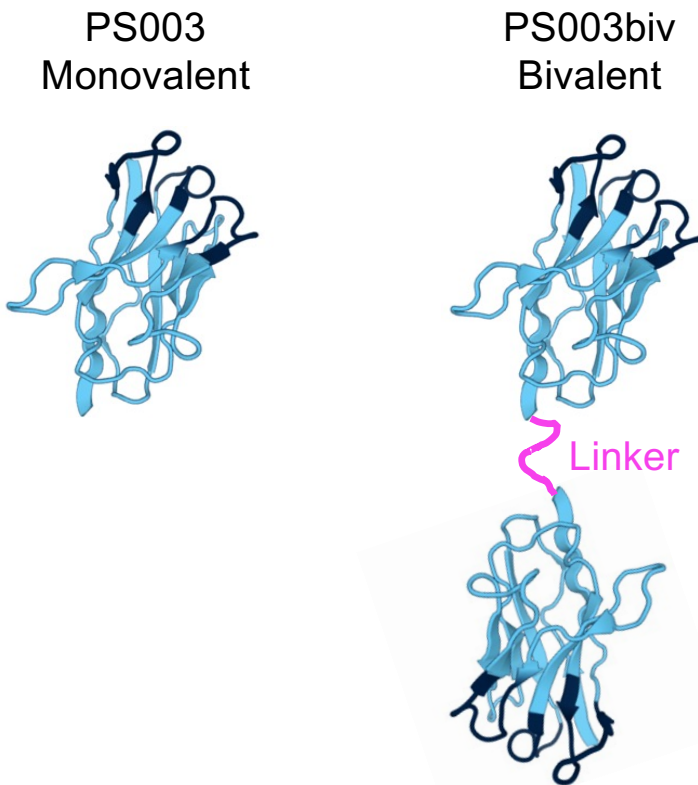
Test d'activité anticoagulante de la PS



Josepha Clara Sedzro

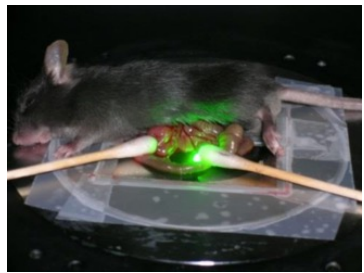
PS003 est un **nanobody “agoniste”** potentialisant la PS

Génération du nanobody bivalent PS003biv



Activité de **potentialisation augmentée** pour la forme bivalente (PS003biv)

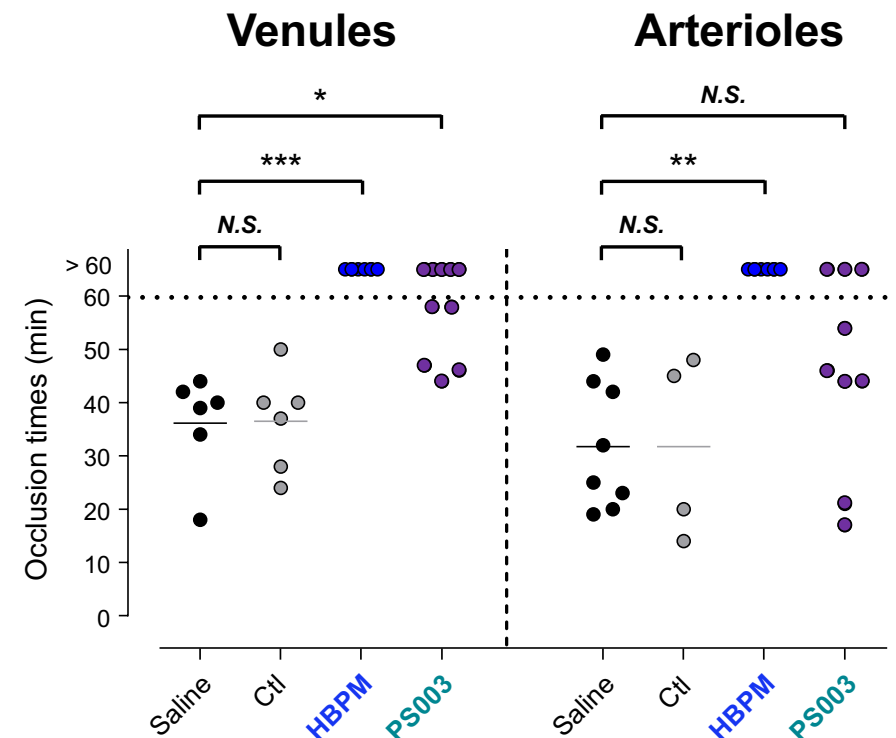
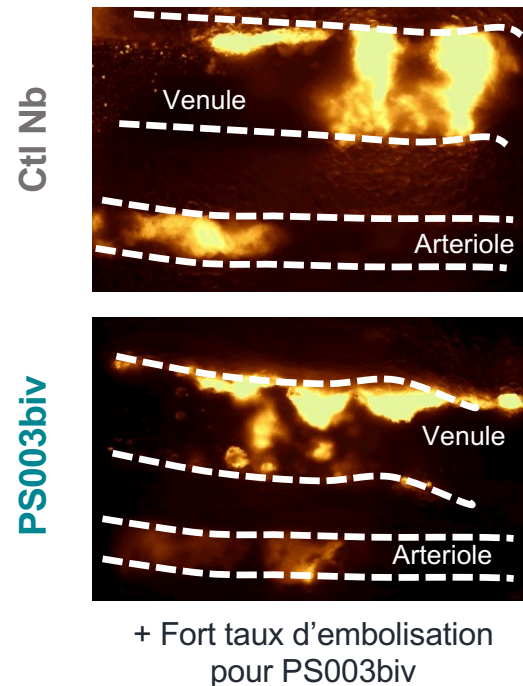
Effets antithrombotiques de PS003biv *in vivo*



Frédéric Adam (UMR-S1176)



Li et al. JoVE 2016

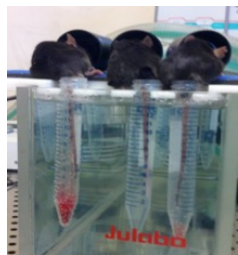


L'administration de PS003biv entraîne des **temps d'occlusion retardés**
associés à une **instabilité des thrombi** dans les microvaisseaux mésentériques

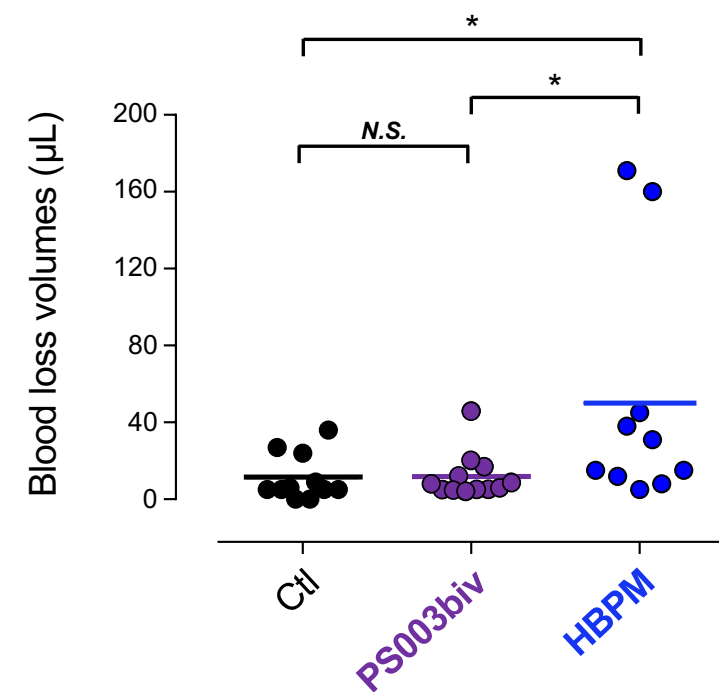
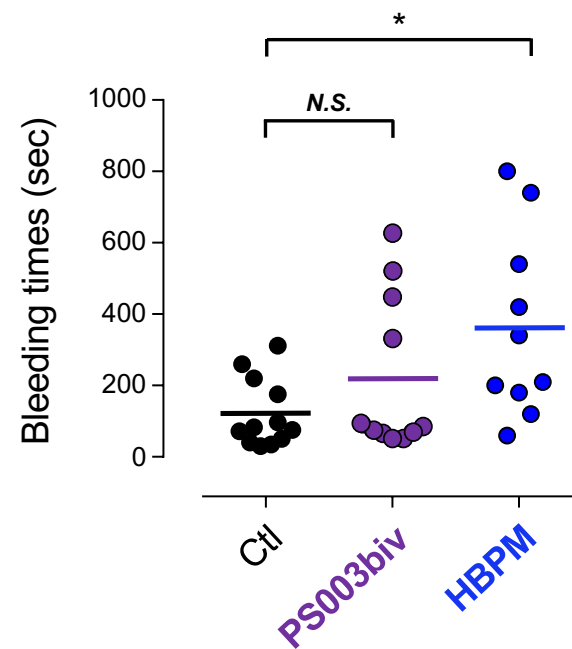
Sedzro et al. J Thromb Haemost 2022

Effets de PS003biv sur l'hémostase physiologique

Modèle de saignement ("tail-clip")



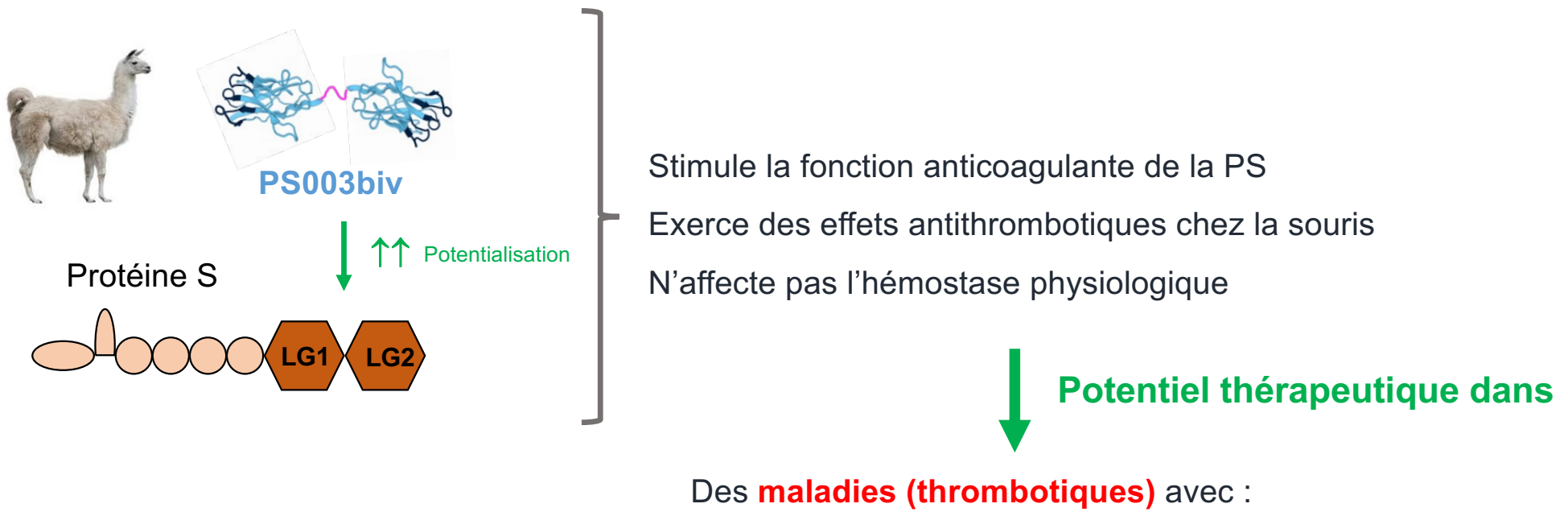
Cécile Denis, UMR-S1176



PS003 n'a **aucun effect significatif** sur les temps de saignement et les volumes de sang perdus

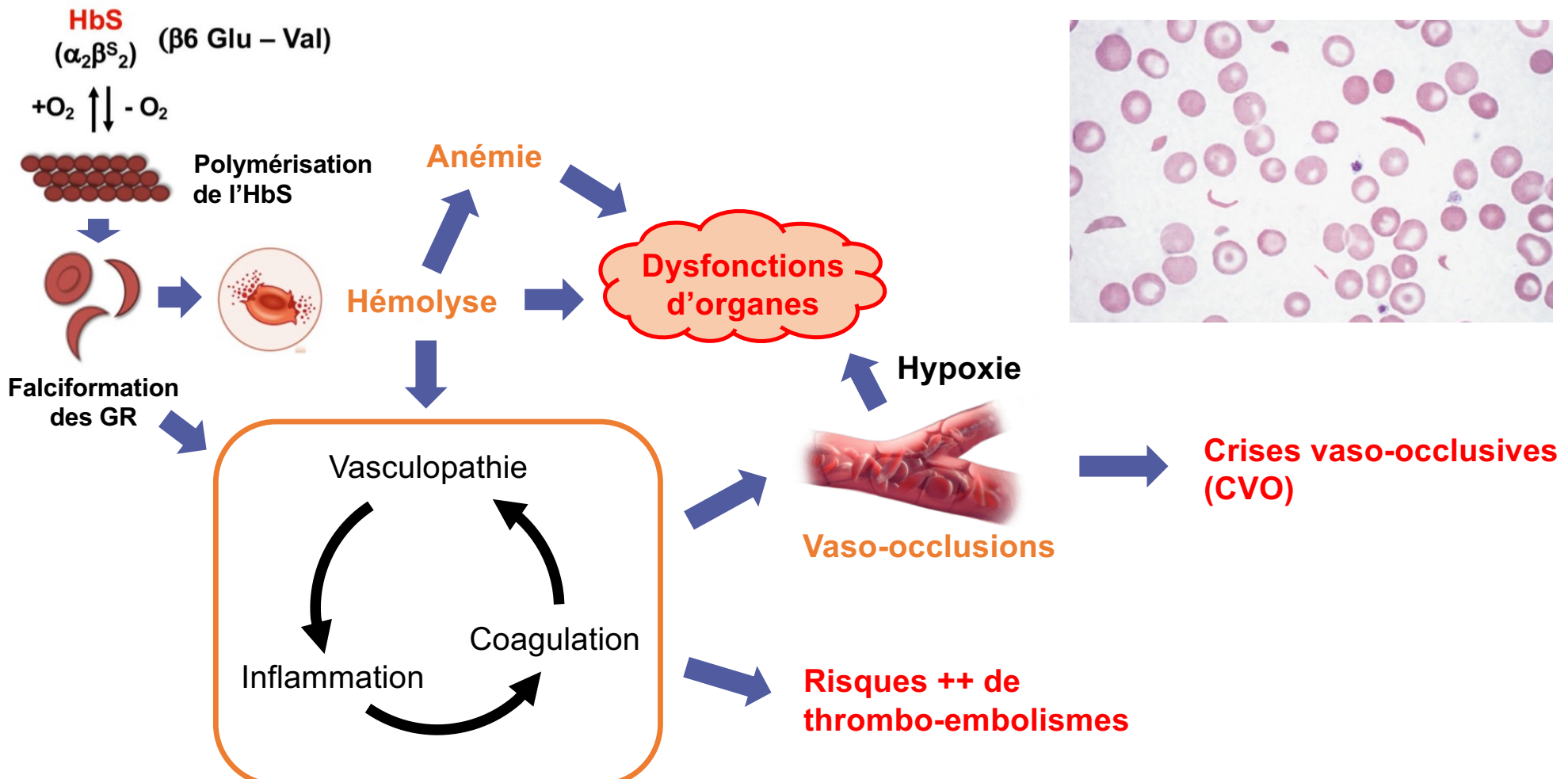
Sedzro et al. J Thromb Haemost 2022

Potentiel thérapeutique du nanobody anti-PS PS003biv



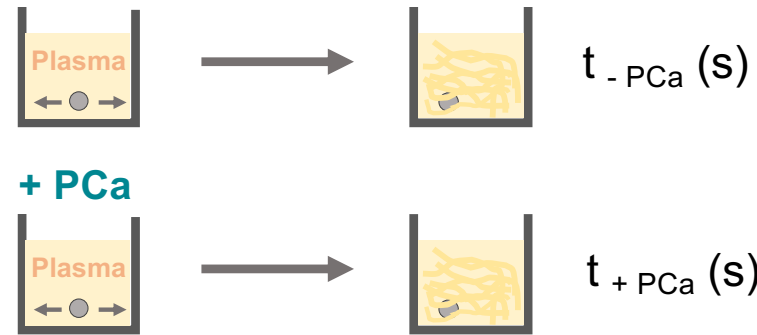
Objectif :
Booster le système
de la PCa/PS

La drépanocytose : une hémoglobinopathie complexe



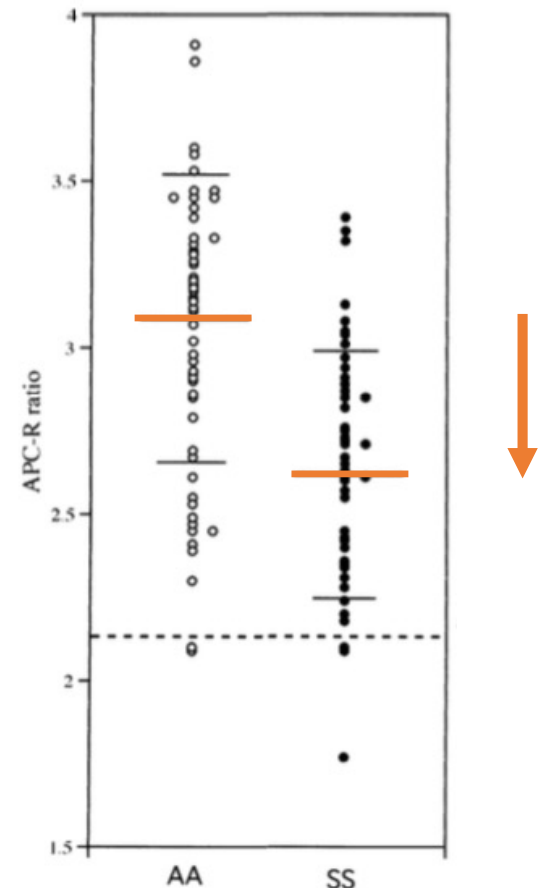
Résistance à la PCa dans la drépanocytose

Mesure d'un **temps de coagulation plasmatique**
en absence et présence de PCa



$$\text{APC Ratio} = t_{+ \text{PCa}} (\text{s}) / t_{- \text{PCa}} (\text{s})$$

Chez des **patients drépanocytaires (SS)**
et contrôles (AA)



Wright et al. Br J Haematol 1997

Déficit acquis en protéine S (PS) dans la drépanocytose

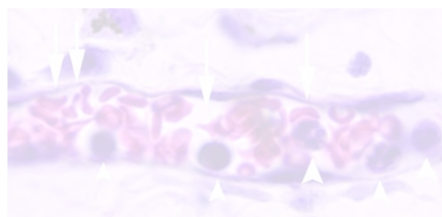
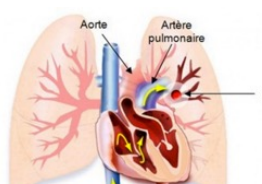
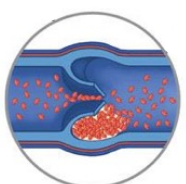
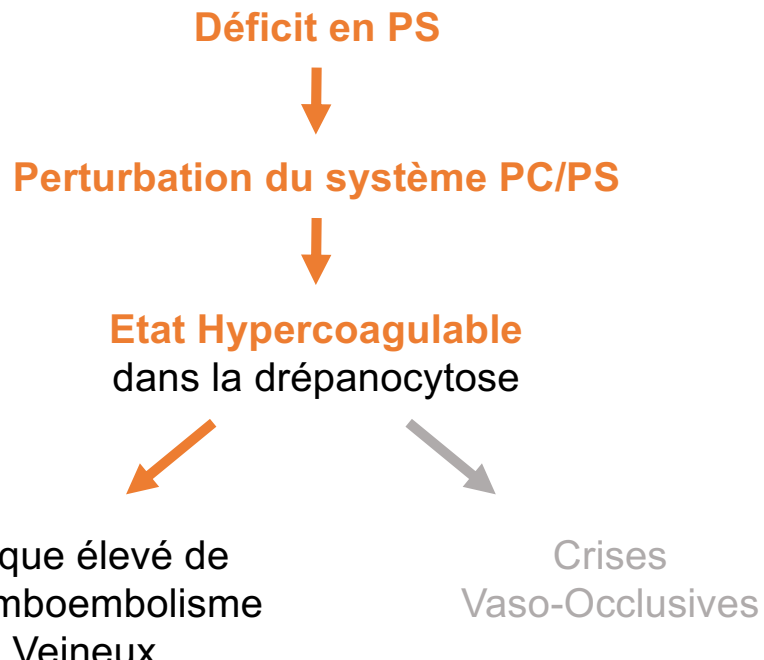
Taux plasmatiques de PS réduits chez les drépanocytaires

Réduction accrue lors des CVO

Table 1 Baseline blood and plasma characteristics in sickle cell disease (SCD) and control cohorts

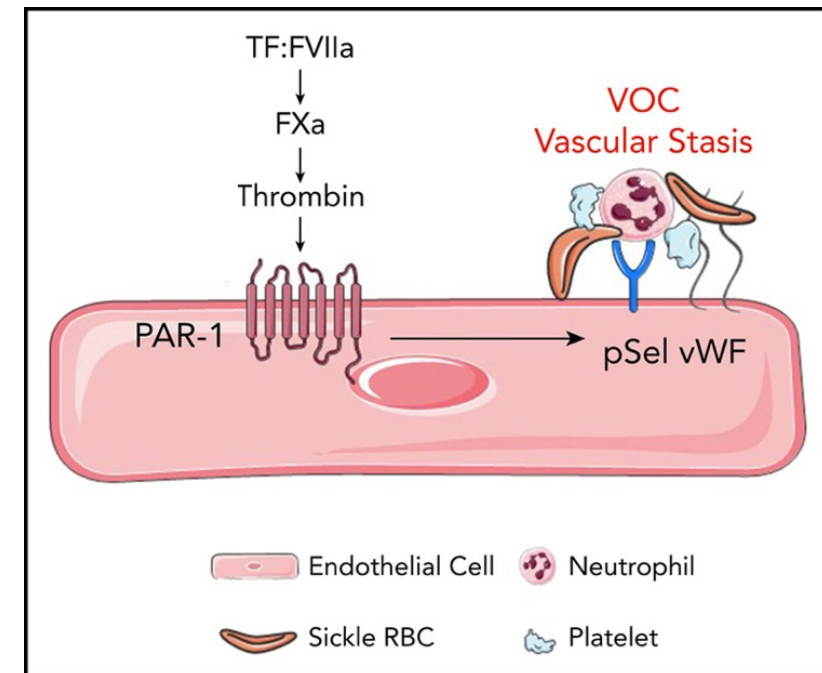
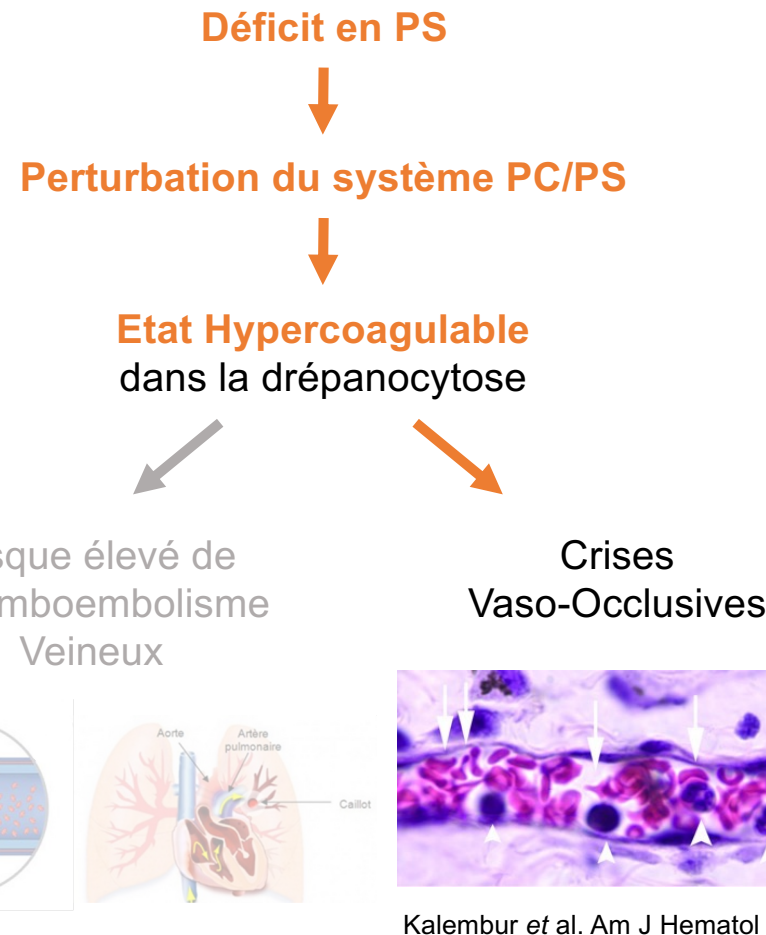
	Control (n = 25)	SCD (n = 25)	P value
Baseline TAT (ng mL ⁻¹)	2.3 ± 1.1	10.2 ± 9.5	0.0004
phosphatidylserine+ RBCs (%)	0.26 ± 0.25	4.8 ± 4.0	<0.0001
Protein C (% activity)	126 ± 32	81 ± 21	0.0036
Protein S (% activity)	88 ± 18	53 ± 20	0.0005
Protein S (% free antigen)	81 ± 17	58 ± 18	0.0003
Factor V (% activity)	89 ± 21	97 ± 29	0.3027
Factor VIII (% activity)	112 ± 25	179 ± 45	0.0003
TFPI (% antigen)	86 ± 33	83 ± 24	0.6659

Déficit acquis en protéine S (PS) dans la drépanocytose



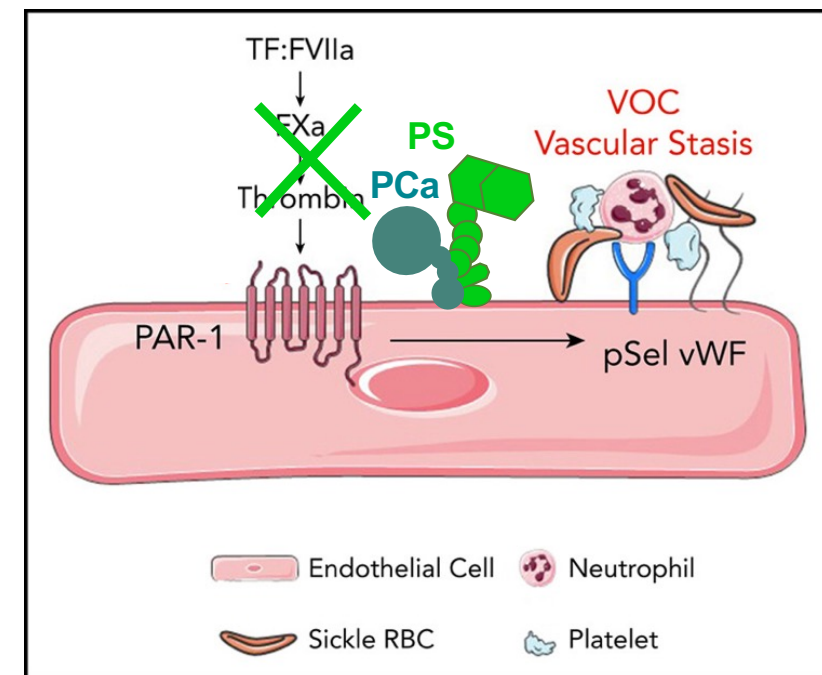
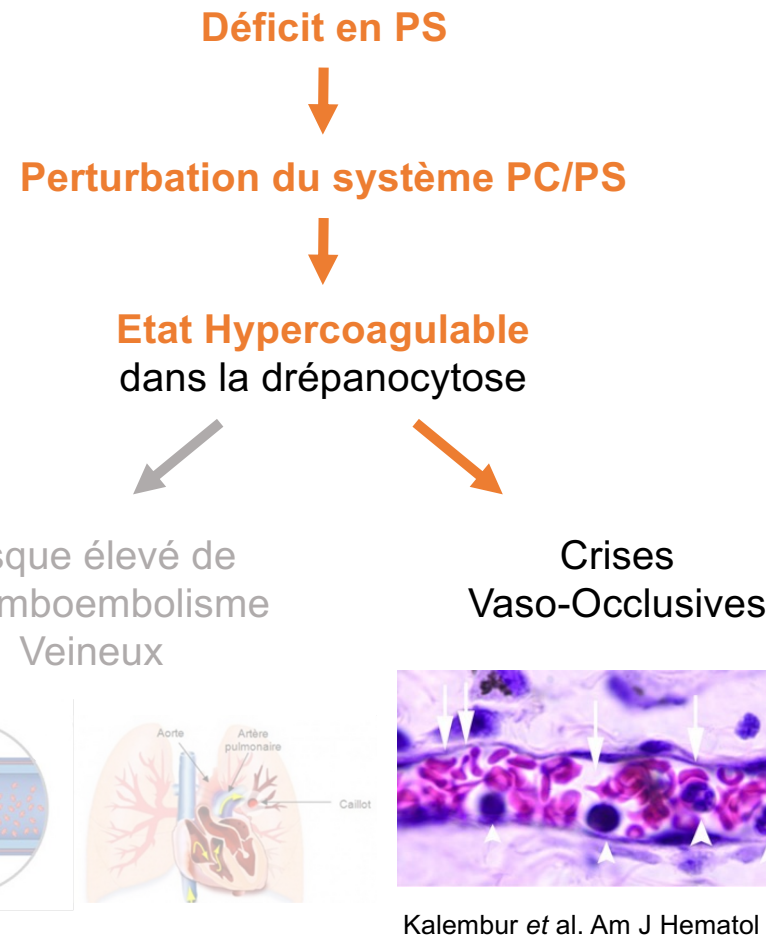
Kalembur et al. Am J Hematol 2004

Déficit acquis en protéine S (PS) dans la drépanocytose

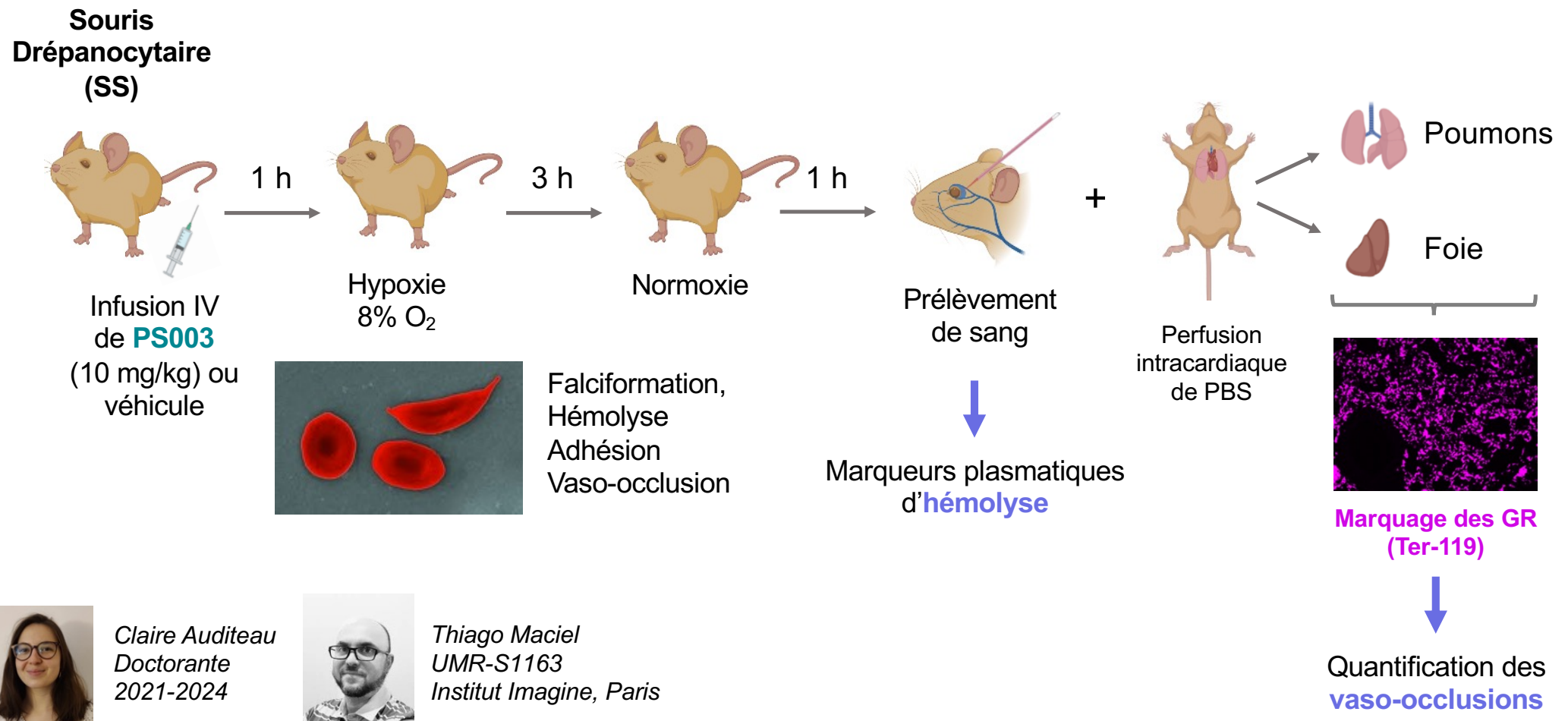


Sparkenbaugh et al. Blood 2020

Déficit acquis en protéine S (PS) dans la drépanocytose



Effets de PS003biv dans un modèle murin de CVO induite par **hypoxie**

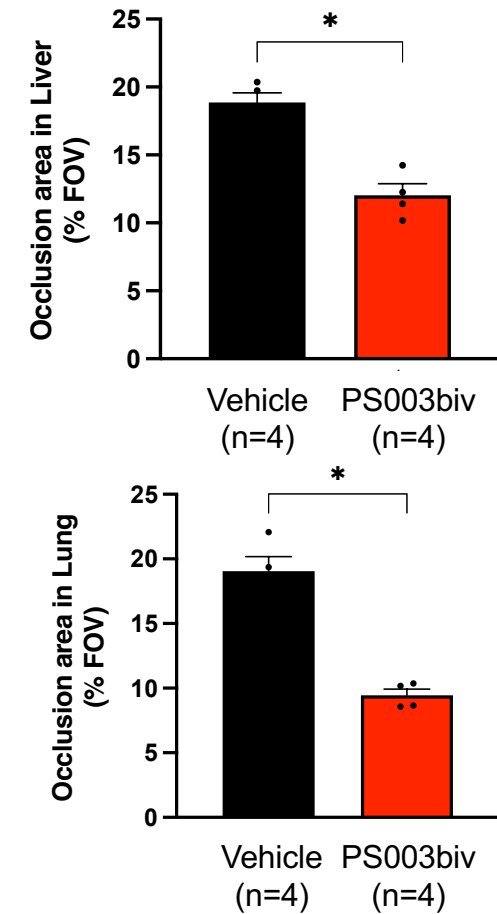
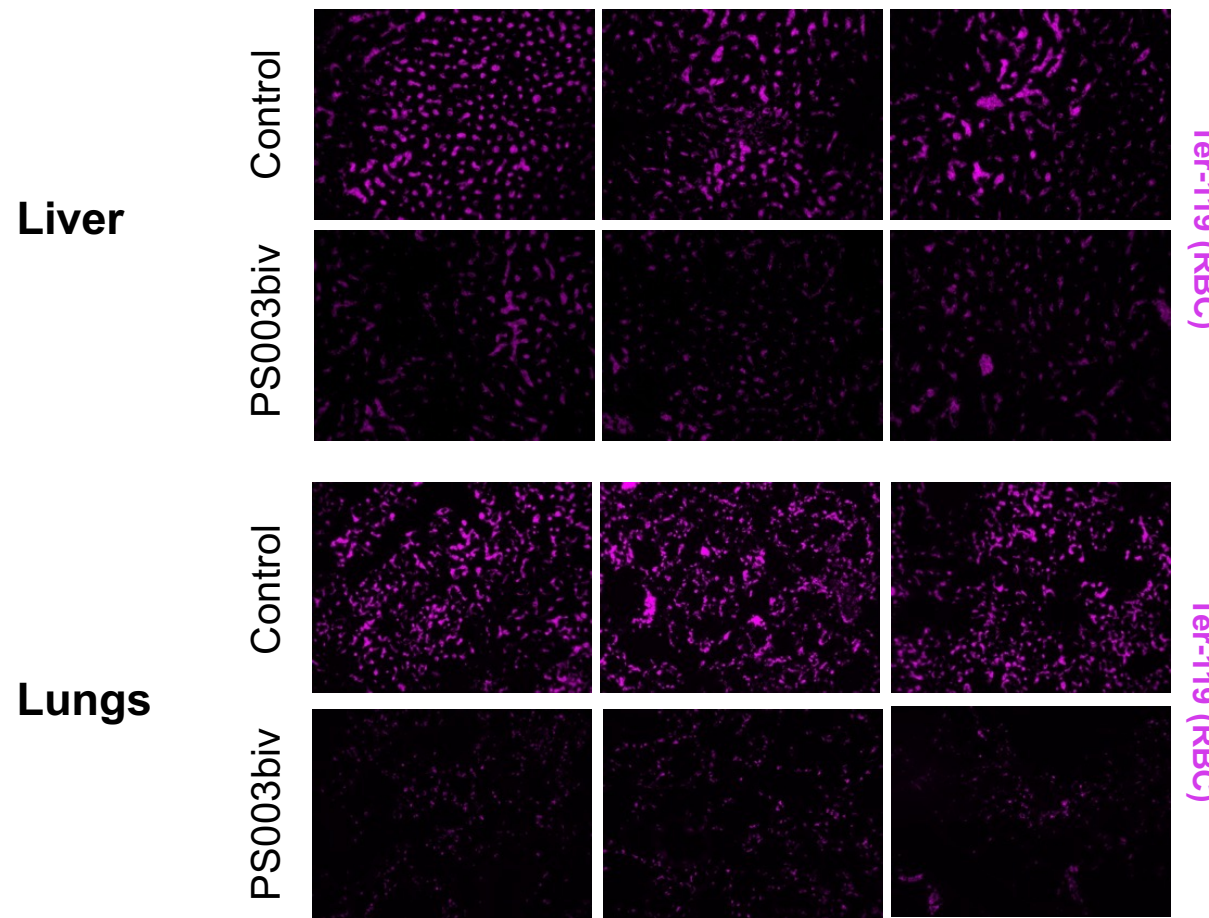


Claire Auditeau
Doctorante
2021-2024



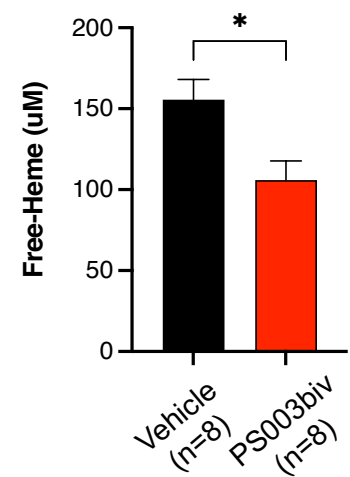
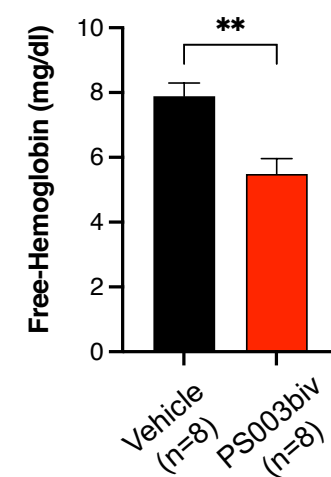
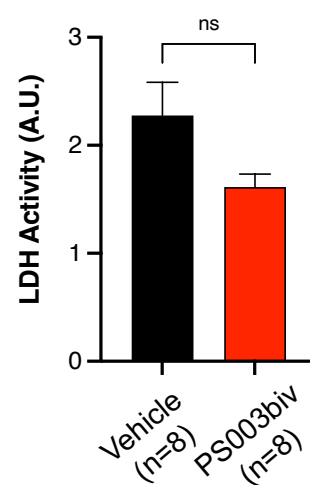
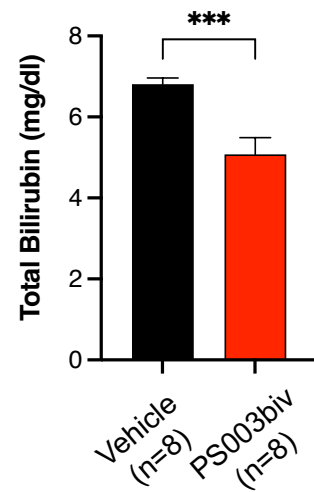
Thiago Maciel
UMR-S1163
Institut Imagine, Paris

Effets de PS003biv dans un modèle murin de CVO induite par **hypoxie**

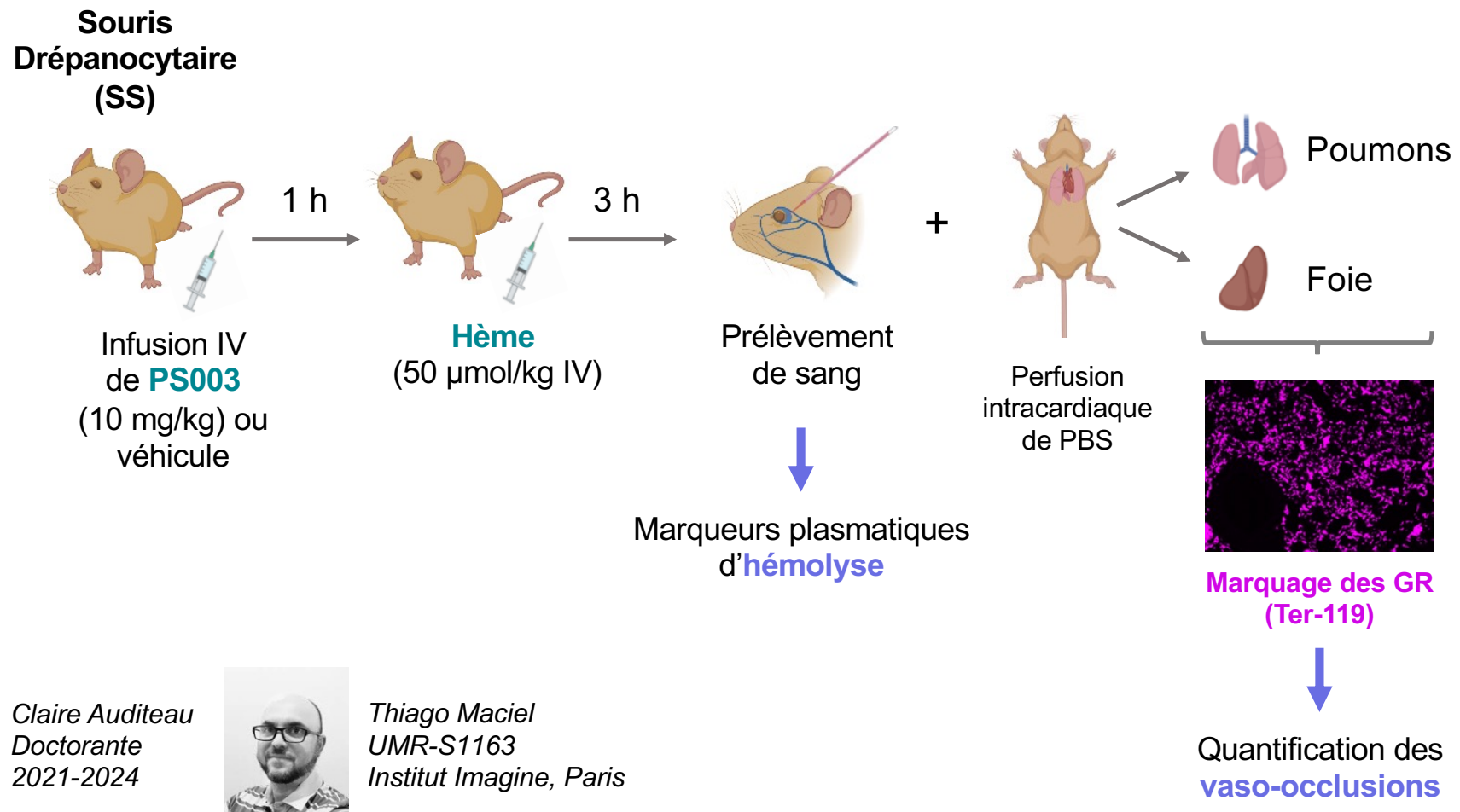


Effets de PS003biv dans un modèle murin de CVO induite par **hypoxie**

Réduction des marqueurs d'**hémolyse** par l'administration de PS003biv



Effets de PS003biv dans un modèle murin de CVO induite par l'**hème**

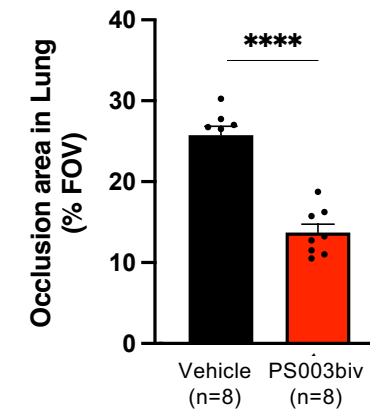
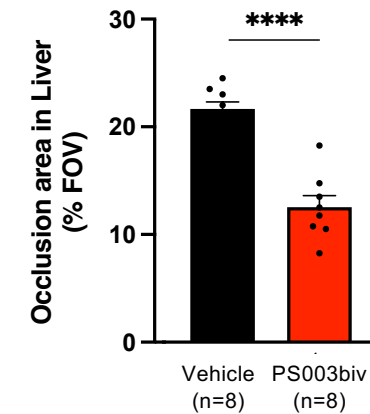
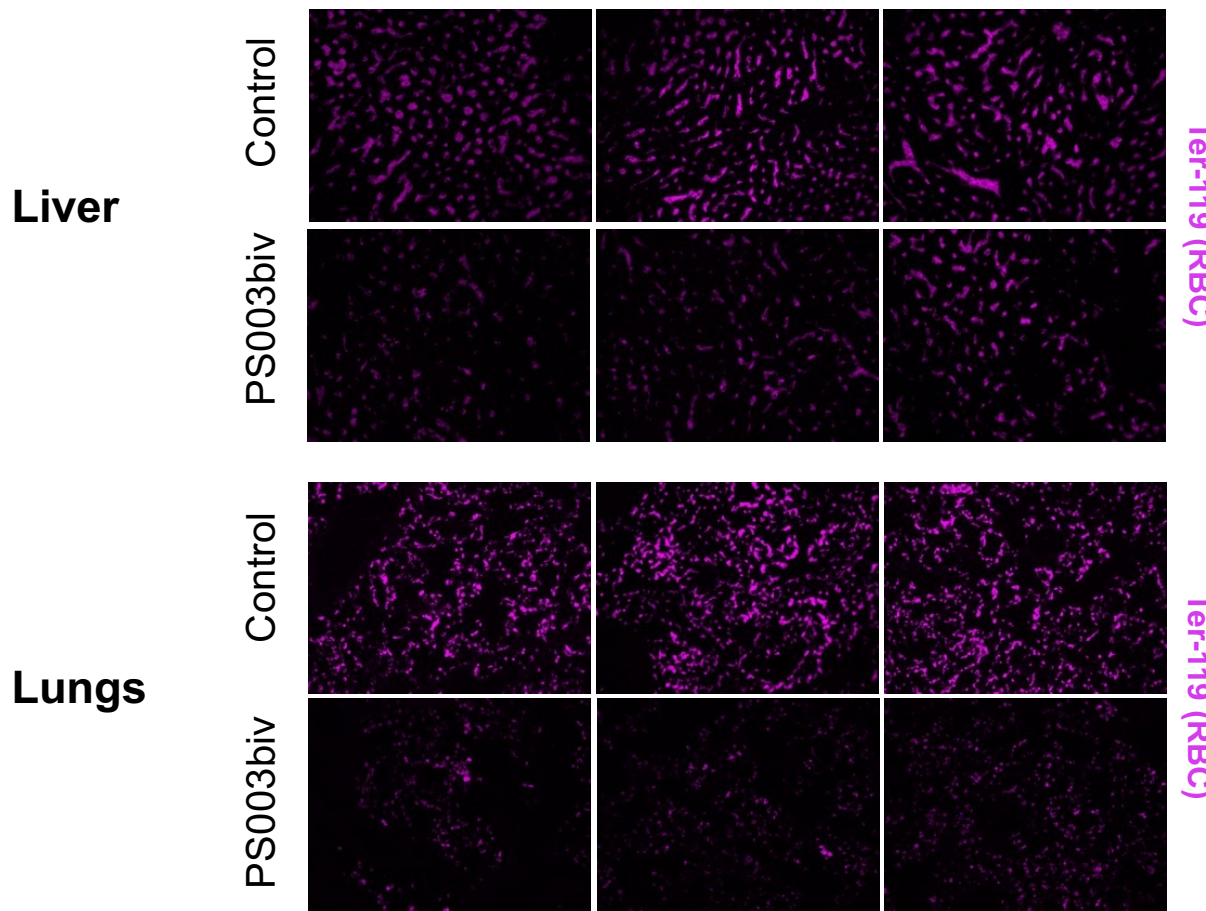


Claire Auditeau
Doctorante
2021-2024



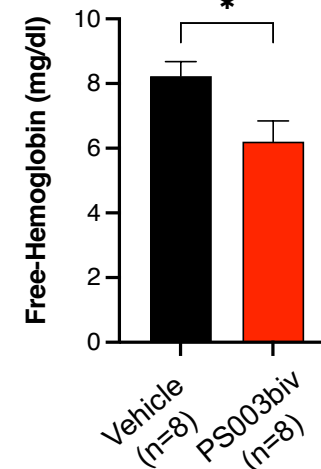
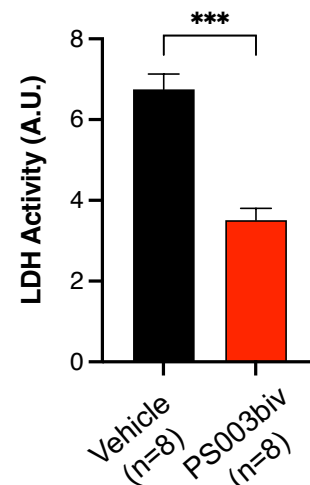
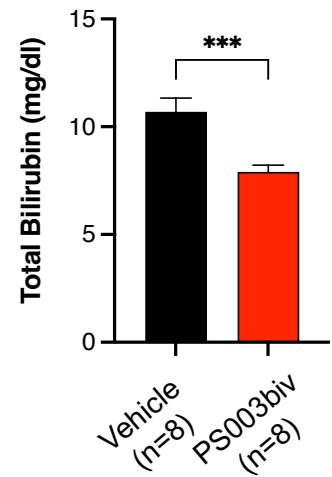
Thiago Maciel
UMR-S1163
Institut Imagine, Paris

Effets de PS003biv dans un modèle murin de CVO induite par l'hème

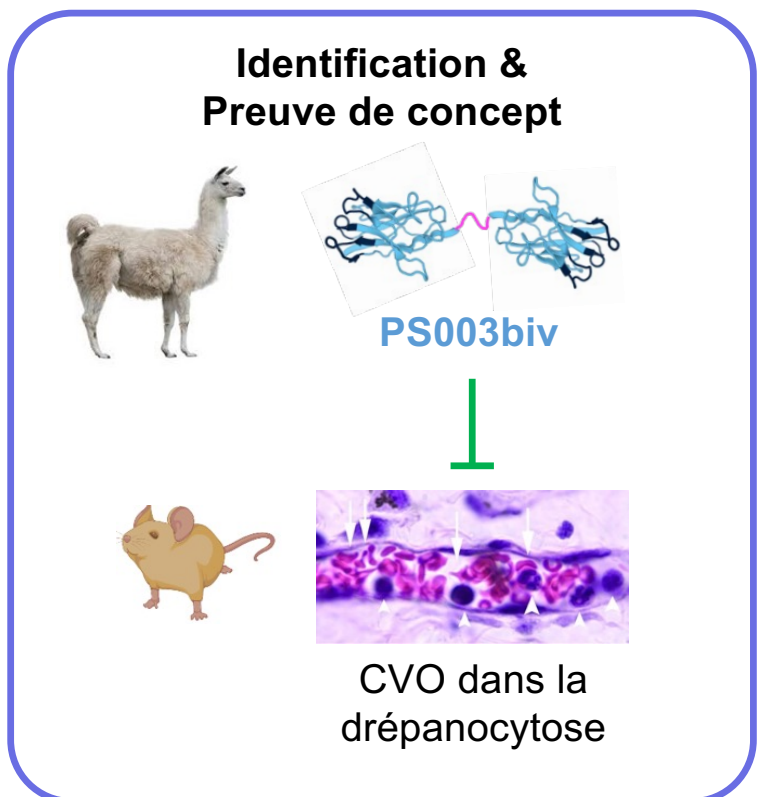


Effets de PS003biv dans un modèle murin de CVO induite par l'**hème**

Réduction des marqueurs d'**hémolyse** par l'administration de PS003biv



Potentiel thérapeutique de PS003biv dans la drépanocytose



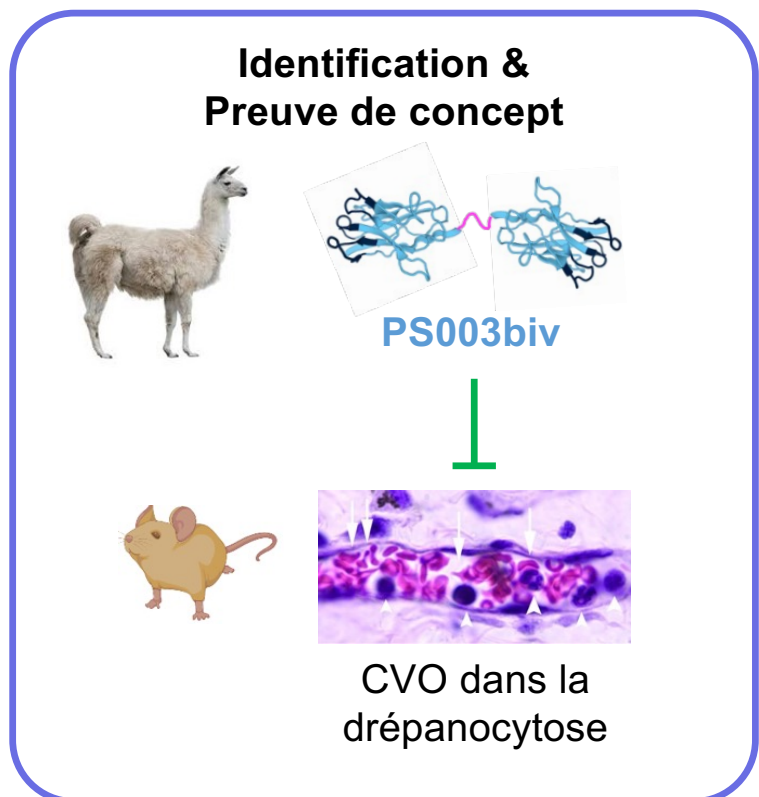
PS003biv semble **protecteur** dans des modèles de CVO chez des souris drépanocytaires

PS003biv pourrait également **limiter la survenue d'évènements thrombo-emboliques** chez des souris drépanocytaires (à démontrer !)

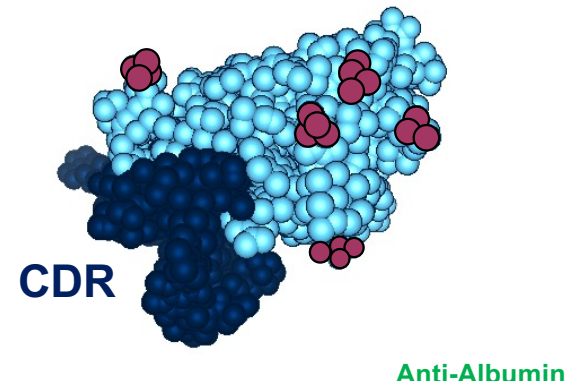


Potentiel thérapeutique ++

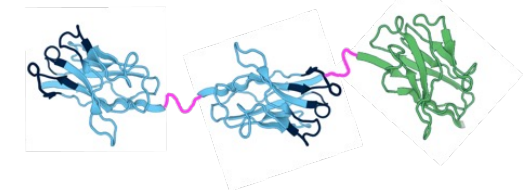
Optimisation pharmacologique de PS003biv



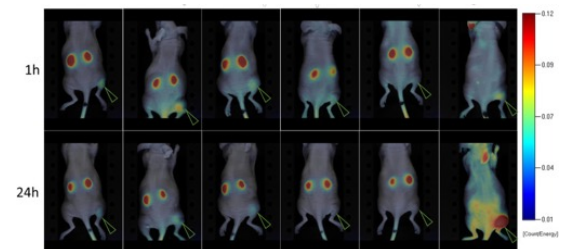
Humanisation
(cf Caplacizumab)



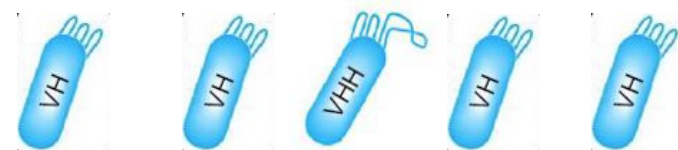
Extension de la demi-vie plasmatique
(cf Ozoralizumab)



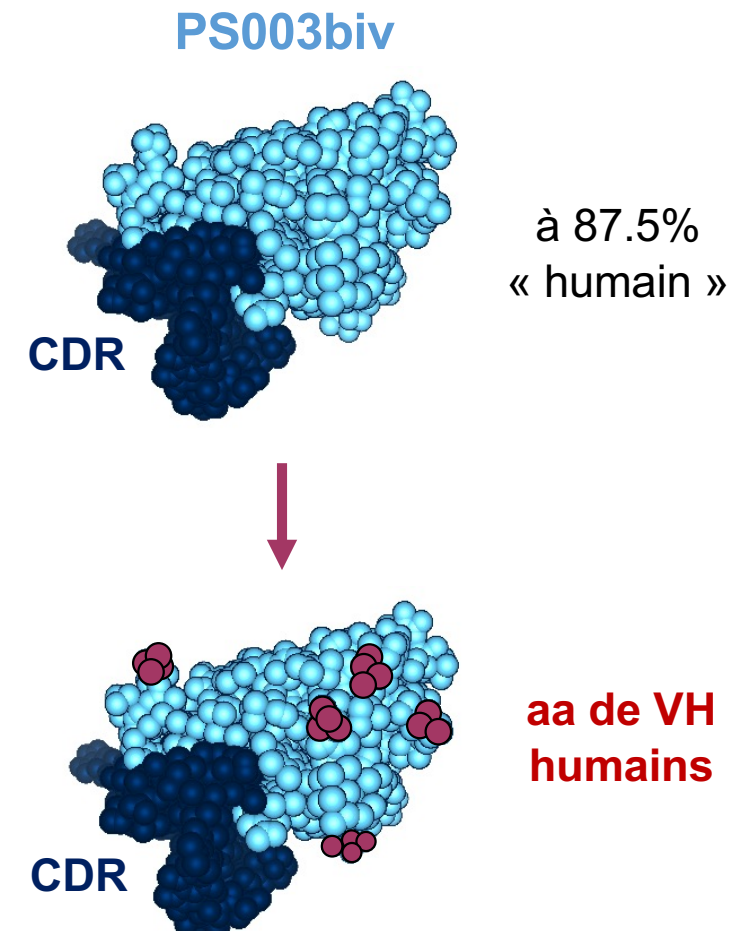
Biodistribution



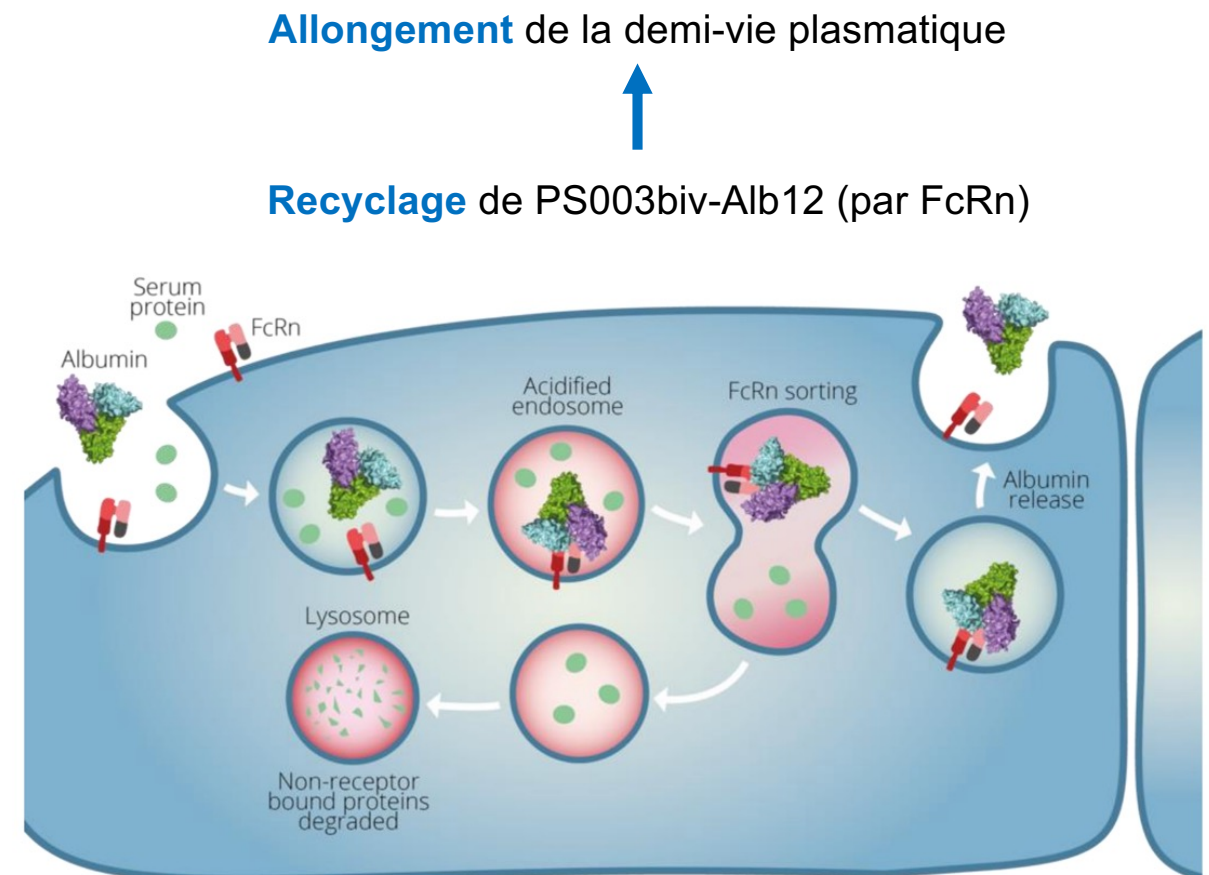
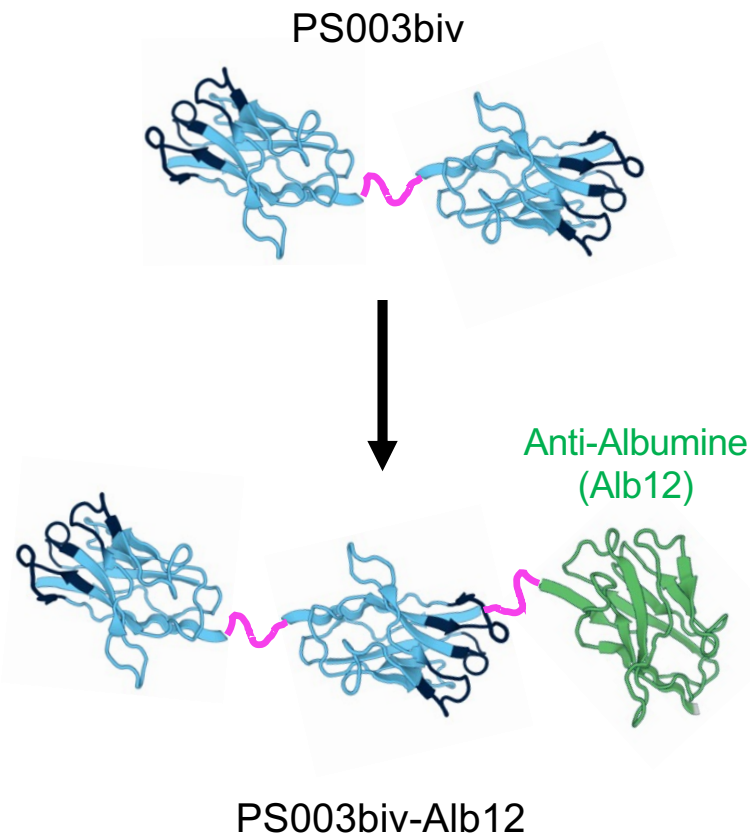
Humanisation de PS003biv



Faible immunogénérité
des VHH de lama

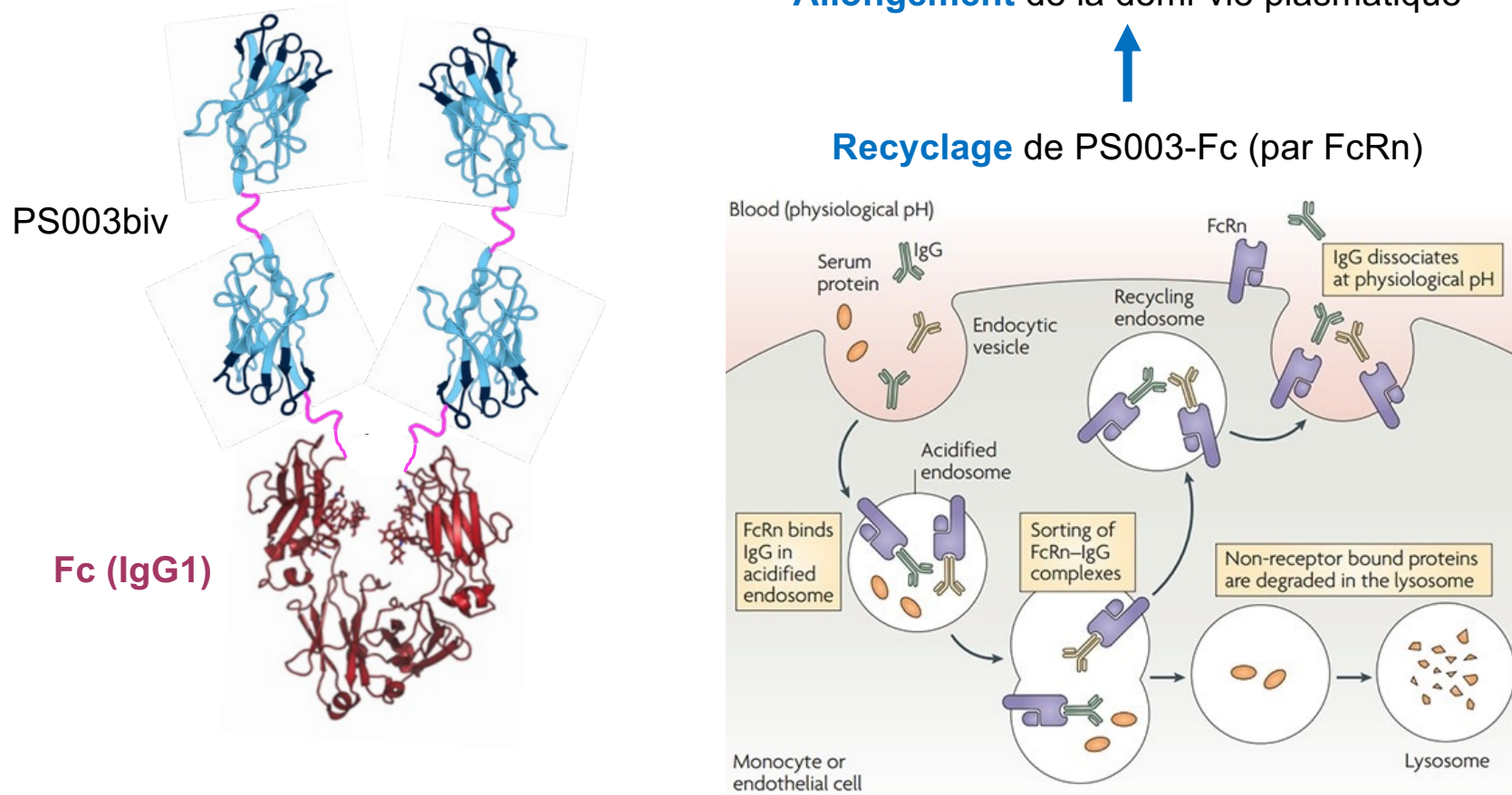


Extension de la demi-vie plasmatique de PS003biv

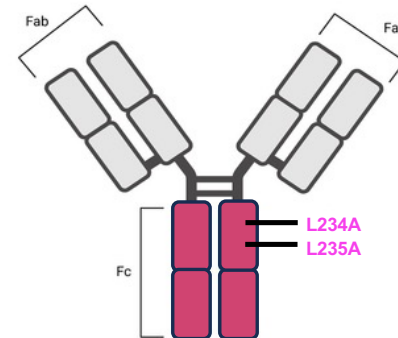
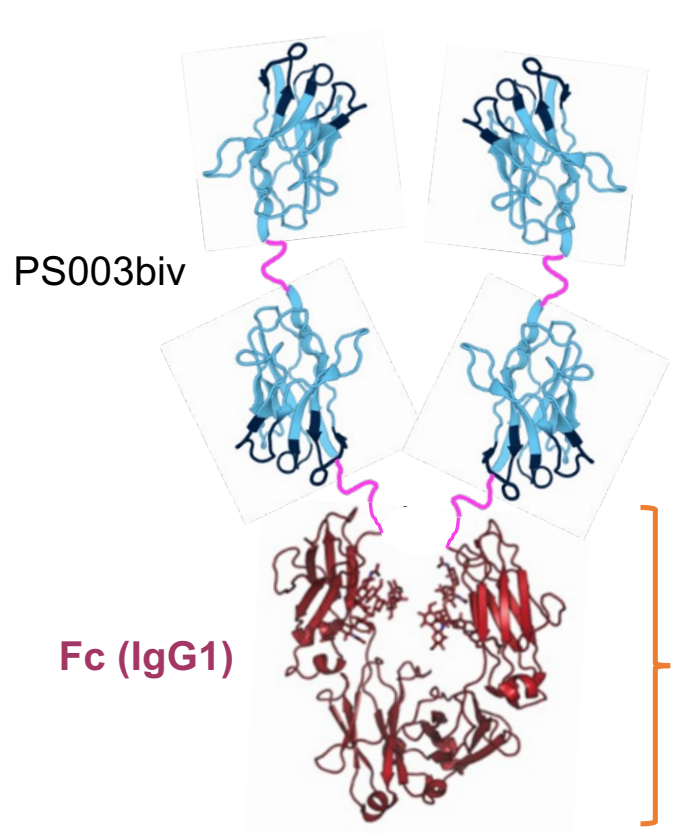


Cours de Claire Auditeau

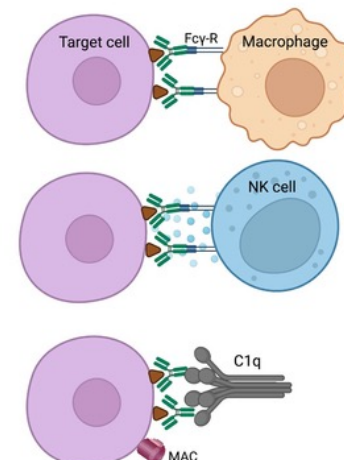
Extension de la demi-vie plasmatique de PS003biv



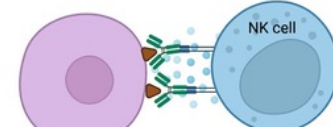
Extension de la demi-vie plasmatique de PS003biv



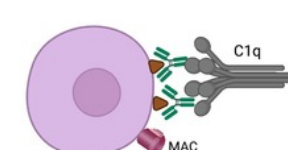
1. Antibody-dependent cellular phagocytosis (ADCP)



2. Antibody-dependent cellular cytotoxicity (ADCC)



3. C1q binding/complement-dependent cytotoxicity (CDC)



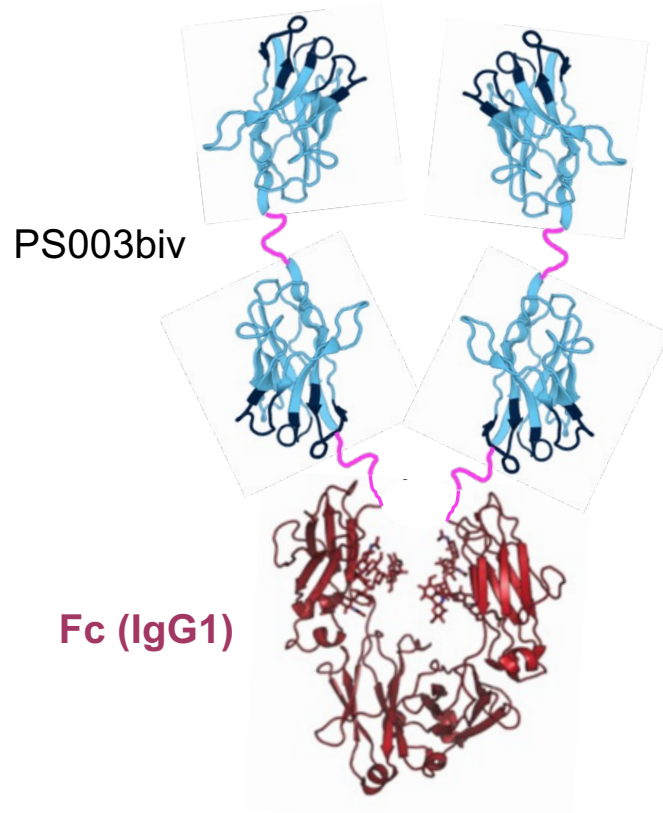
Adapté de Maussler et al. PLoS ONE 2023

Attention aux fonctions **effectrices**

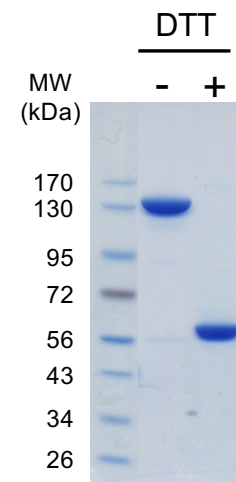


Ingénierie de PS003biv-Fc au niveau du Fc (Mutations LALA)

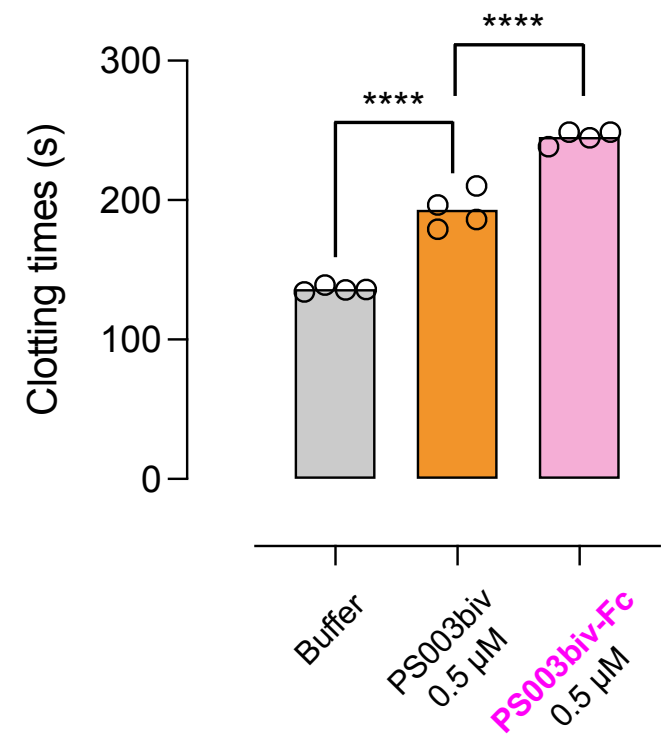
Extension de la demi-vie plasmatique de PS003biv



Produit
très pur

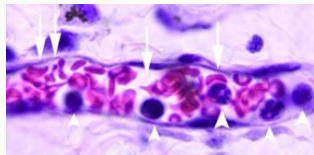
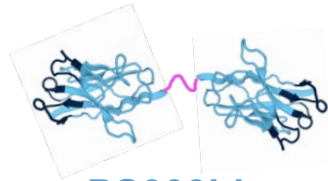


Activité biologique :
PS003biv-Fc > PS003biv



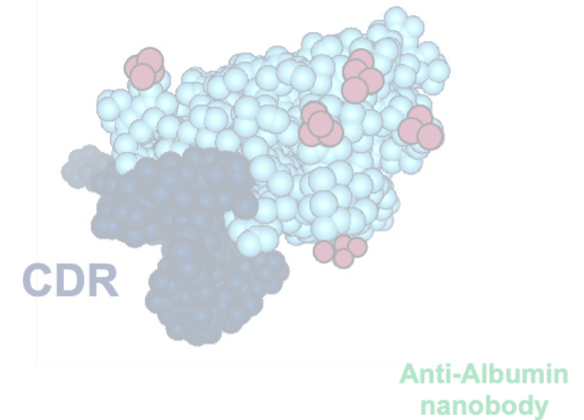
Optimisation pharmacologique de PS003biv

Identification & Preuve de concept



CVO dans la drépanocytose

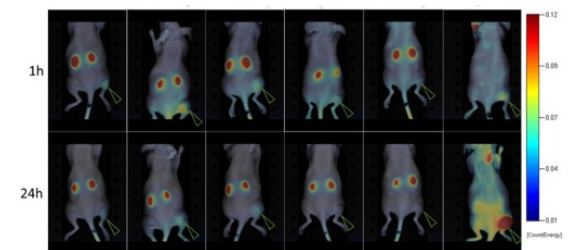
Humanisation (cf Caplacizumab)



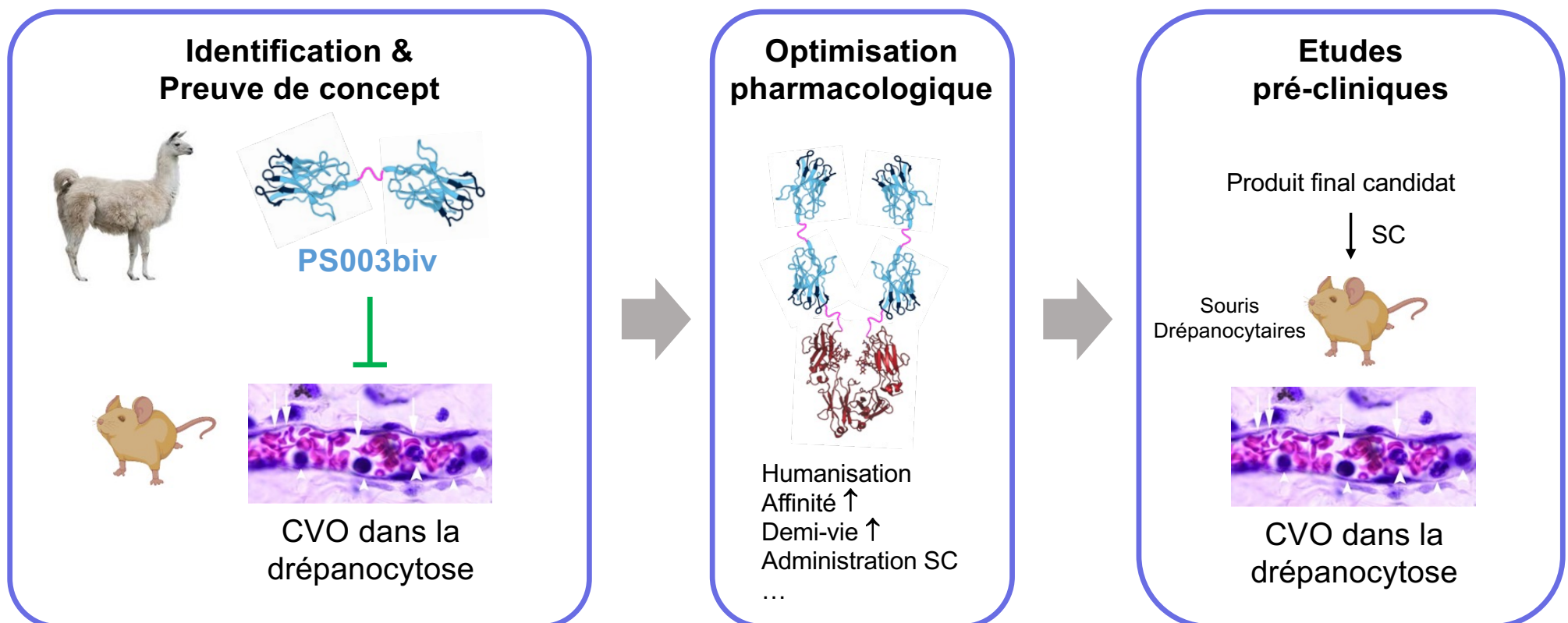
Extension de la demi-vie plasmatique (cf Ozoralizumab)



Biodistribution



Développement clinique du nanobody PS003biv



Développement de nanobodies synthétiques

Banques **immunes**



Banque « **synthétique** »



Nanobodies « **naturels** »
de lama

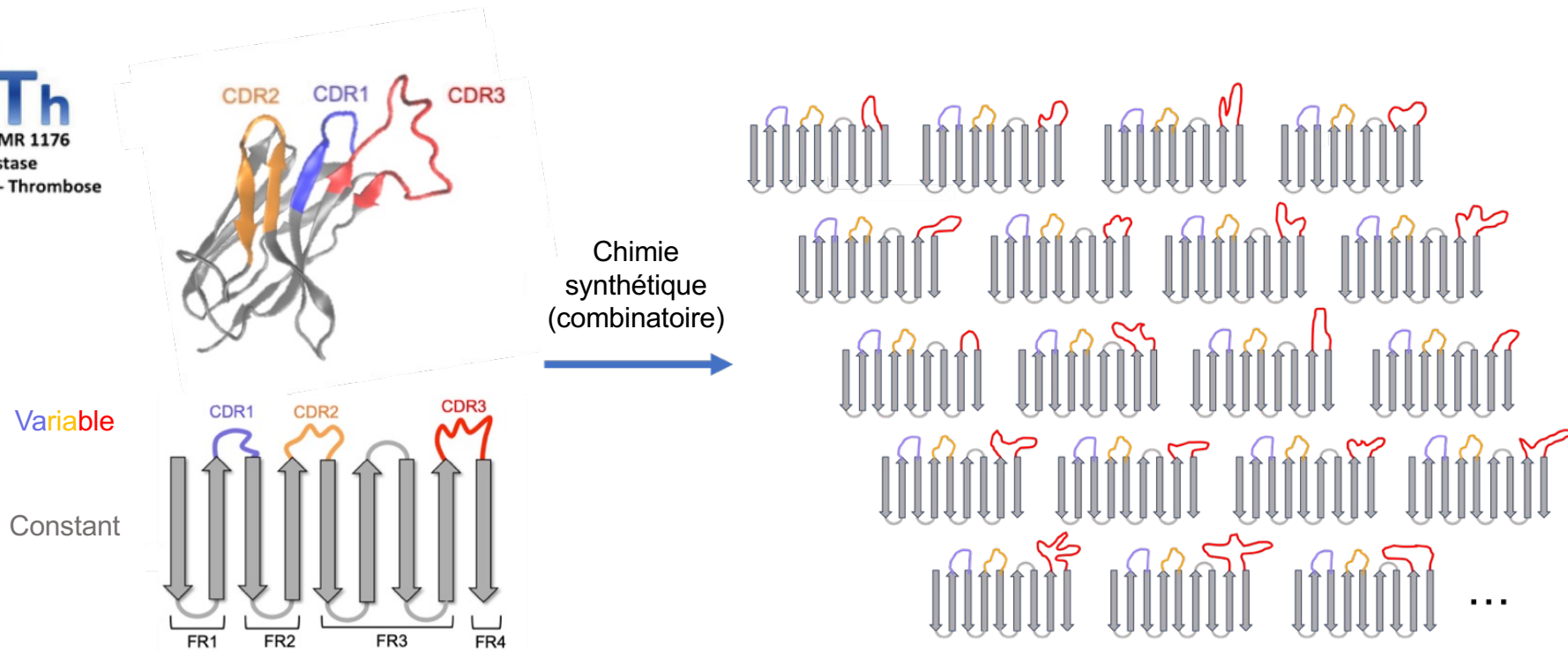
HiTh
INSERM UMR 1176
Hémostase
Inflammation - Thrombose



Nanobodies
« **synthétiques** » de lama

Génération d'une banque synthétique (KB-SL)

HITH
INSERM UMR 1176
Hémostase
Inflammation - Thrombose



4.10^9 clones différents !!

Une banque synthétique peut être utilisée pour **n'importe quelle cible**

Identification de nanobodies anti-TFPI « synthétiques »

	1	2	3	4	5	6						
	TFPI	BSA										
A	3,676	0,071	0,151	0,07	0,085	0,074	0,131	0,068	1,158	0,063	2,241	0,065
B	2,87	0,25	0,294	0,073	0,08	0,066	0,094	0,066	0,086	0,064	0,089	0,06
C	0,114	0,069	1,184	1,285	0,153	0,066	1,112	1,245	0,114	0,058	0,098	0,059
D	0,188	0,071	0,196	0,078	1,218	1,621	0,156	0,064	0,105	0,06	3,17	0,064
E	0,087	0,068	0,126	0,069	0,085	0,068	0,099	0,063	3,238	0,058	0,103	0,057
F	0,094	0,064	0,311	0,07	0,077	0,063	0,379	0,06	0,213	0,058	0,103	0,061
G	0,119	0,088	2,811	0,069	0,135	0,069	2,041	2,393	0,418	0,439	1,72	2,243
H	0,866	0,074	0,301	0,066	0,517	0,07	0,126	0,071	0,967	1,372	0,452	0,06
	7	8	9	10	11	12						
	TFPI	BSA										
A	0,406	0,075	0,223	0,068	0,187	0,071	0,076	0,065	0,307	0,061	0,302	0,445
B	1,264	0,067	0,09	0,068	0,177	0,068	0,136	0,064	0,077	0,061	0,121	0,071
C	0,091	0,073	0,6	0,069	0,216	0,068	0,18	0,066	0,082	0,061	0,56	0,738
D	0,328	0,074	0,122	0,073	3,453	0,065	0,129	0,063	3,124	0,061	0,15	0,064
E	0,978	0,114	3,084	0,067	2,291	2,666	0,594	0,729	0,243	0,063	0,133	0,063
F	3,331	0,067	0,152	0,066	0,087	0,065	3,117	0,06	0,935	0,094	0,218	0,067
G	0,094	0,072	0,171	0,099	0,165	0,07	0,082	0,071	0,736	0,774	0,101	0,071
H	2,004	0,071	0,841	0,073	0,153	0,073	0,216	0,186	0,073	0,064	0,654	0,066

94
clones
testés

Identification de nanobodies anti-TFPI « synthétiques »

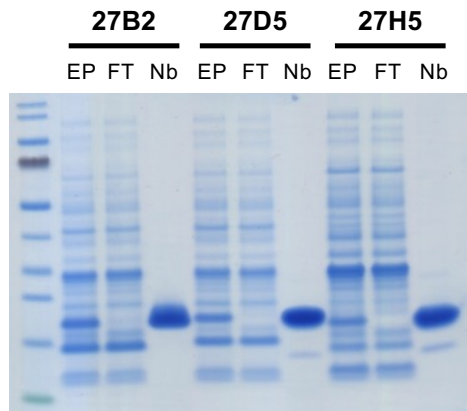
	1	2	3	4	5	6						
	TFPI	BSA	TFPI	BSA	TFPI	BSA	TFPI	BSA	TFPI	BSA	TFPI	BSA
A	1,992	1,067	0,816	0,068	0,111	0,066	0,654	0,062	0,226	0,069	0,268	0,073
B	0,205	0,062	1,863	0,065	0,13	0,063	0,154	0,059	2,404	0,217	0,121	0,071
C	0,147	0,063	2,979	0,07	0,102	0,06	0,078	0,06	0,161	0,063	0,084	0,065
D	1,192	1,694	0,104	0,064	0,142	0,061	0,884	0,06	0,849	0,087	0,173	0,063
E	0,491	0,065	0,237	0,206	0,375	0,243	0,174	0,06	0,171	0,063	0,664	0,838
F	0,199	0,284	0,138	0,061	0,075	0,06	0,107	0,06	0,302	0,066	0,11	0,067
G	0,122	0,071	0,331	0,069	0,493	0,069	0,096	0,074	2,331	2,455	0,499	0,945
H	0,188	0,067	0,159	0,19	0,23	0,145	0,193	0,065	3,383	0,066	0,261	0,066
	7	8	9	10	11	12						
	TFPI	BSA	TFPI	BSA	TFPI	BSA	TFPI	BSA	TFPI	BSA	TFPI	BSA
A	0,486	0,06	0,081	0,057	0,669	1,113	2,686	1,726	0,075	0,064	1,049	1,833
B	0,141	0,055	0,144	0,058	0,069	0,056	0,086	0,058	0,763	1,215	0,728	0,058
C	2,218	1,076	0,147	0,056	0,298	0,057	0,067	0,057	0,118	0,06	2,492	0,057
D	0,068	0,086	0,185	0,077	1,559	1,264	1,206	0,128	0,168	0,066	0,156	0,06
E	0,235	0,056	1,145	0,056	0,223	0,057	0,097	0,079	0,672	0,305	0,279	0,055
F	0,068	0,055	0,066	0,055	0,082	0,056	0,502	0,054	0,087	0,061	0,07	0,058
G	0,313	0,249	0,423	0,069	0,087	0,059	0,084	0,061	0,357	0,088	1,593	0,061
H	0,472	0,845	0,085	0,057	0,068	0,06	0,623	0,89	0,066	0,058	0,673	0,054

94
clones
testés

Identifier des Nb anti-TFPI « anti-hémophiliques »

Expression (*E. coli*)

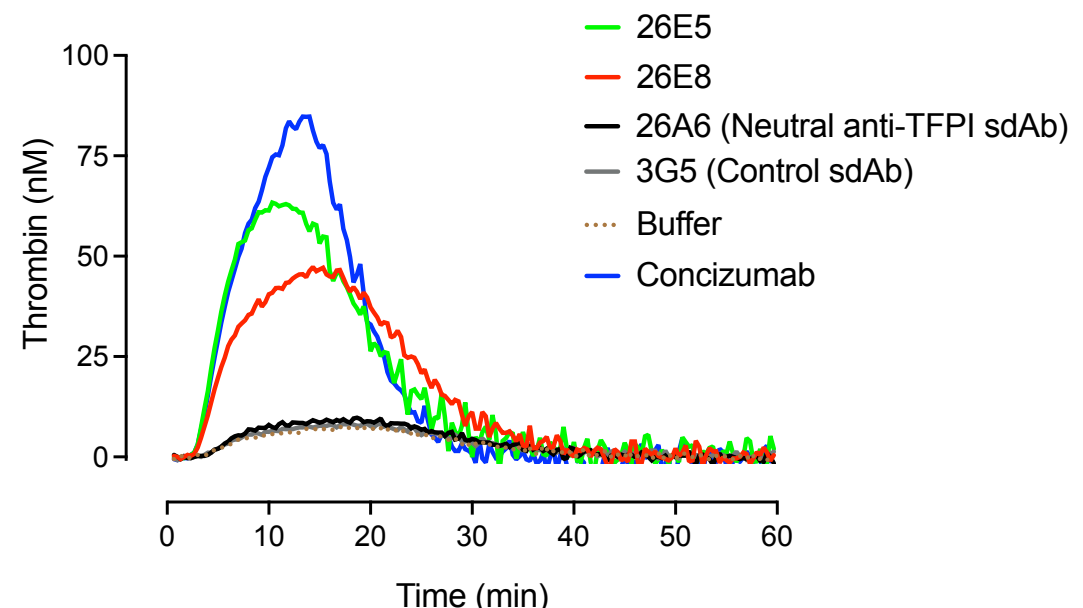
Purification



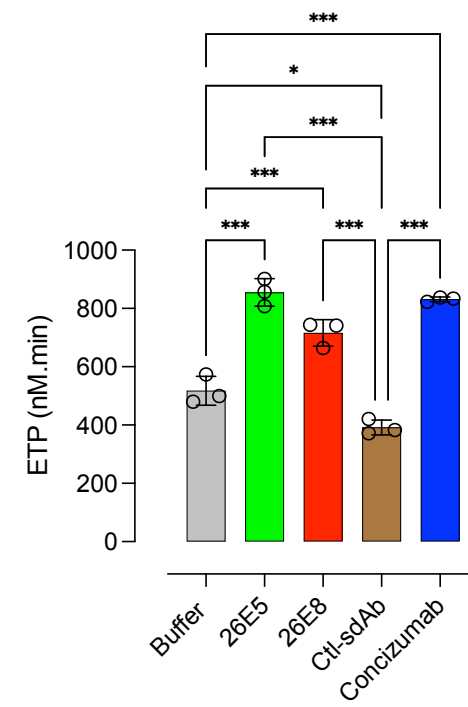
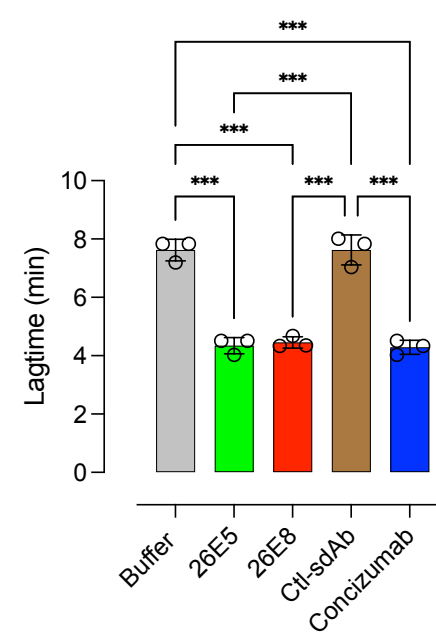
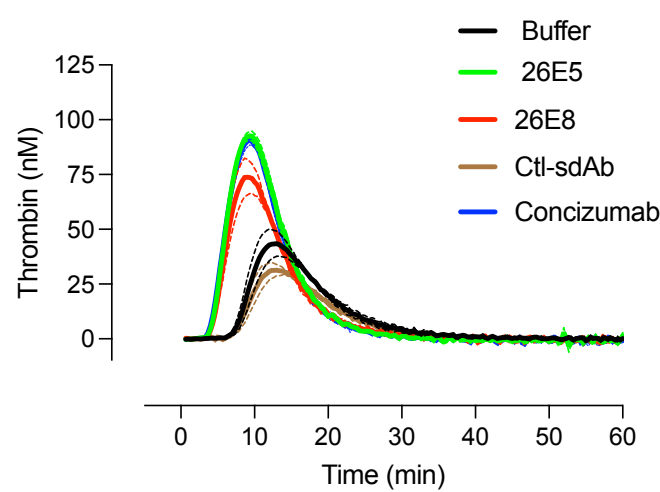
14 Nb anti-TFPI (sur 20) ont pu être exprimés et purifiés

Test des 14 Nb dans un TGT : Plasma HA (< 1% FVIII)

Criblage Fonctionnel
→



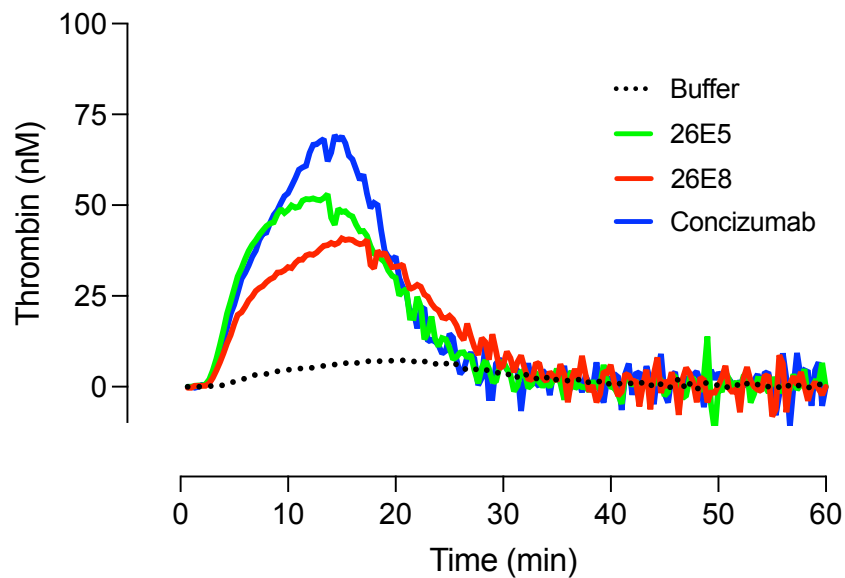
Effets des nanobodies 26E5 et 26E8 en plasma normal



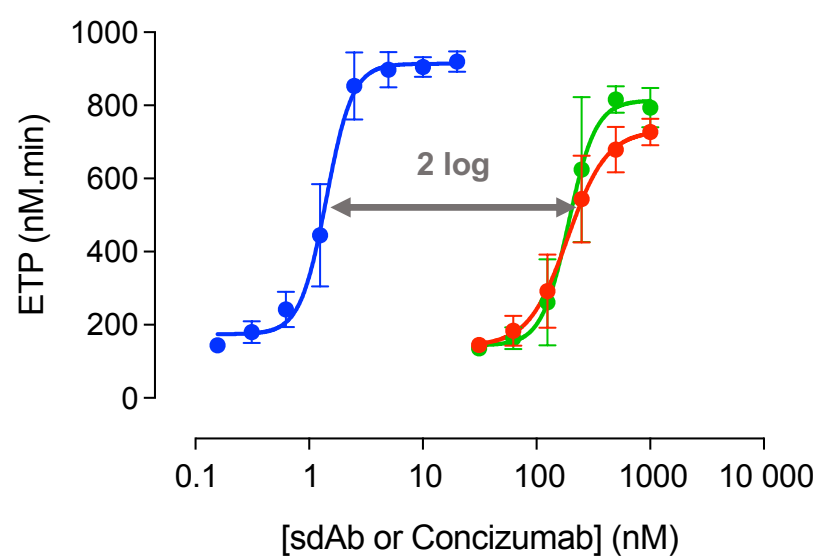
Les nanobodies 26E5 et 26E8 **bloquent l'activité anticoagulante** du TFPI

Effets des nanobodies 26E5 et 26E8 dans un plasma HA

Plasma commercial de patient **hémophile A** (<1 % FVIII)

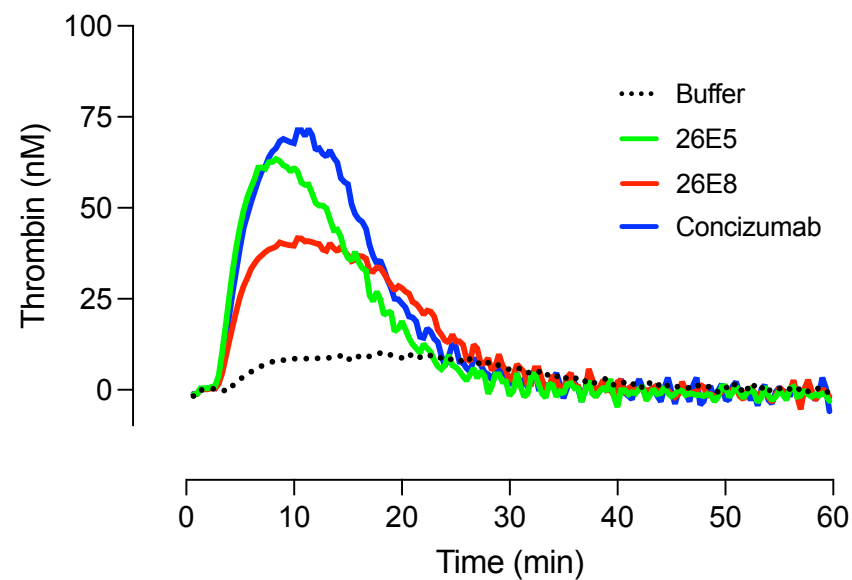


Les nanobodies 26E5 et 26E8 sont “100 fois moins” efficaces que le Concizumab

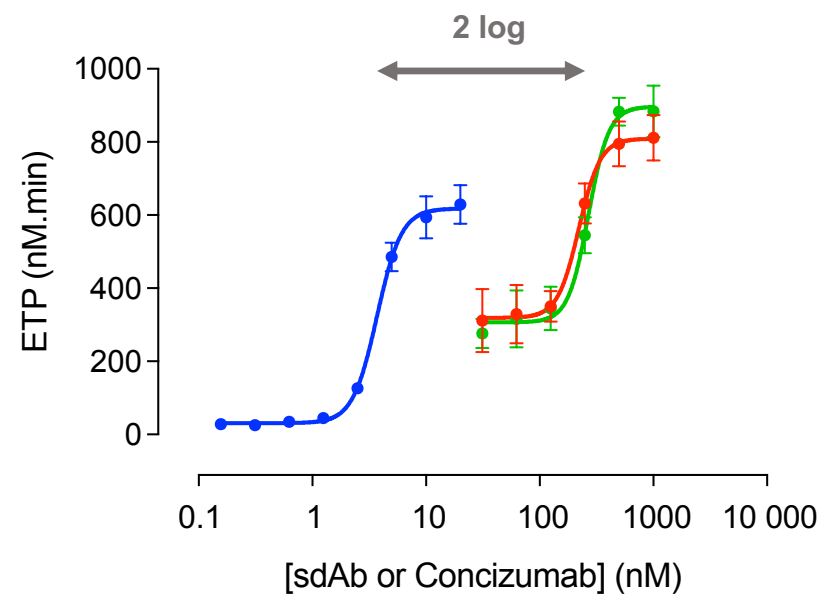


Effets des nanobodies 26E5 et 26E8 dans un plasma HB

Plasma commercial de patient **hémophile B** (<1 % FIX)



Les nanobodies 26E5 et 26E8 sont “100 fois moins” efficaces que le Concizumab

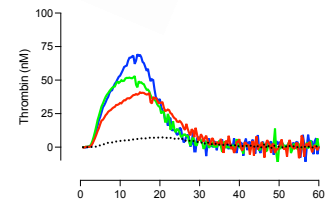


Développement clinique de nanobodies anti-TFPI ?

Identification & Preuve de concept



Nanobodies
Anti-TFPI



↓ ??

Hémophilie



Procoagulant Anticoagulant



Equilibre de la
balance hémostatique

Cibles



Méthode



Ac humanisés
anti-TFPI

Molécules

Concizumab (Novonordisk)
Marstacimab (Pfizer)

Cours d'Elsa Bianchini (UEL343)

Les nanobodies, une nouvelle classe d'anticorps thérapeutiques



1983

Les nanobodies, une nouvelle classe d'anticorps thérapeutiques

Are llamas the new unicorns? BBC

© 10 February 2019 · [Comments](#)

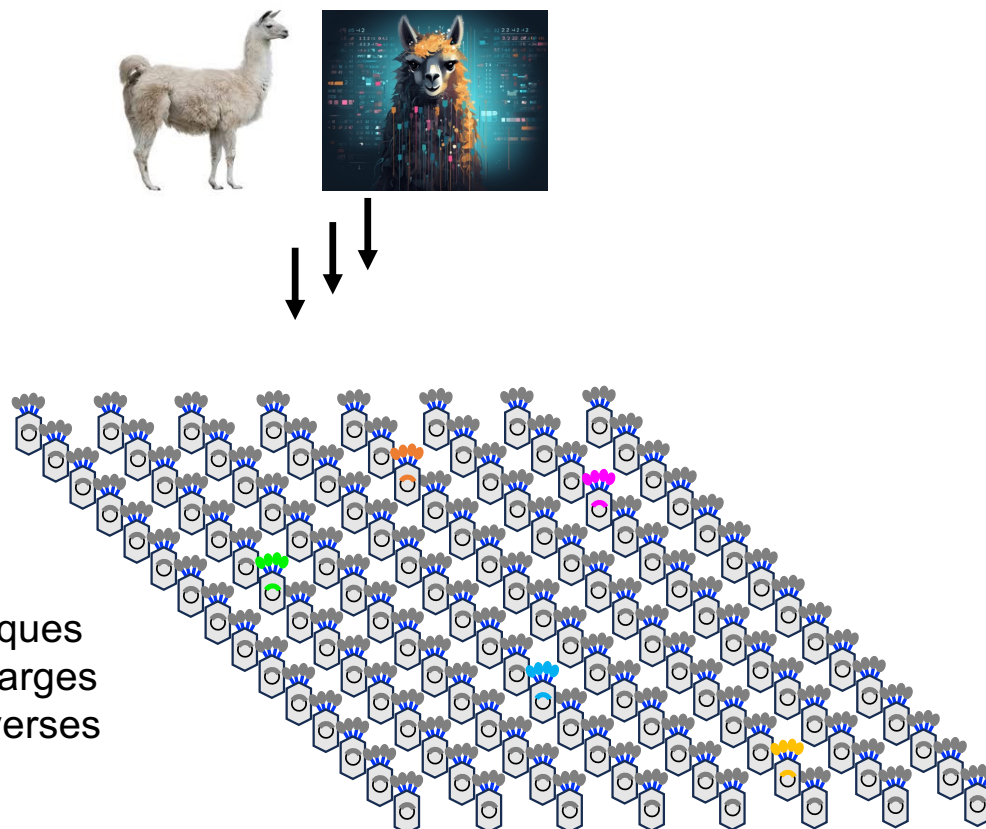


Step aside unicorns, there's a new trend-setting creature in town... the llama of course!



2019

Les nanobodies, une nouvelle classe d'anticorps thérapeutiques



Les nanobodies, une nouvelle classe d'anticorps thérapeutiques



FREDERIC J. BROWN/AFP/Getty Images